

Redakční rada

Doc. Ing. Dr. L. Oppl, CSc. (vedoucí redaktor) — Ing. V. Bašus (výkonný redaktor) — doc. Ing. Dr. J. Čihelka — V. Fridrich — Ing. J. Haber — doc. Ing. L. Hrdina — Ing. L. Chalupský — doc. Ing. J. Chyský, CSc. — Ing. B. Jelen — Ing. L. Kubíček — Ing. Dr. M. Lážňovský — Ing. Dr. Z. Lenhart — F. Máca — doc. Ing. Dr. J. Mikula, CSc. — Ing. Dr. J. Němec, CSc. — Ing. V. Tůma, CSc.

Adresa redakce: Dvorecká 3, Praha 4

OBSAH

Ing. J. Hejma:	Modelové ověření optimálních rozměrů skříní multicyklónů	113
Ing. V. Vaněček, CSc., Ing. K. Hofbauer:	Poznámky k termodynamice vazby vlhkosti se sušinou	124
Prof. Dr. med. habil. A. Brandt:	Pracovně hygienické zkušenosti a základní požadavky na bezokenní průmyslové stavby	129
Dr. Ing. I. Fekete:	Charakteristika ohřívaců vzduchu	135



CONTENTS

Ing. J. Hejma:	Model verification of optimal sizes of the boxes of multi-cyclones	113
Ing. V. Vaněk, CSc., Ing. K. Hofbauer:	Notes on the thermodynamics of the binding of humidity with dry material	124
Prof. Dr. med. habil. A. Brandt:	Working hygienic experiences and fundamental exigences on industrial buildings without windows	129
Dr. Ing. I. Fekete:	Characteristic of air heaters	135

С О Д Е Р Ж А Н И Е

Инж. Й. Гейма:	Проверка на моделях оптимальных размеров шкафов мультициклонов	113
Инж. В. Ванечек, инж. К. Хоффбауэр, канд. техн. наук:	Соображения по вопросу о термодинамике вязкости влажности с сухим веществом	121
Проф. д-р. мед. наук А. Брандт:	Опыт в области трудовой гигиены и основные требования к промышленным стройкам без окон	129
Д-р. инж. И. Фекетэ:	Характеристика воздухоподогревателя	135

•

I N H A L T

Ing. J. Hejma:	Überprüfung der optimalen Abmessungen der Multicyklon-gehäuse am Modell	113
Ing. V. Vaněček, CSc., Ing. K. Hofbauer:	Bemerkungen zur Thermodynamik der Feuchtigkeitsbindung an die Trockensubstanz	121
Prof. Dr. med. habil. A. Brandt:	Arbeitshygienische Erfahrungen und Grundanforderungen an die Fensterlosen Industriegebäude	129
Dr. Ing. I. Fekete:	Charakteristik der Luftheritzer	135

•

S O M M A I R E

Ing. J. Hejma:	Vérification des dimensions optimales des caisses de multicyclones sur un modèle	113
Ing. V. Vaněček, CSc., Ing. K. Hofbauer:	Notes concernant la thermodynamique de la liaison de l'humidité avec du résidu sec	121
Prof. Dr. med. habil. A. Brandt:	Expériences hygiéniques de travail et exigences essentielles concernant les constructions industrielles sans Fenêtres	129
Dr. Ing. I. Fekete	Caractéristique des appareils à chauffer l'air	135

MODELOVÉ OVĚŘENÍ OPTIMÁLNÍCH ROZMĚRŮ SKŘÍNÍ MULTICYKLÓNŮ

ING. JIŘÍ HEJMA

Výzkumný ústav vzduchotechniky — ZVVZ Praha

Cílem úkolu popsaného v článku bylo zjistit nejvhodnější rozměry skříně a polohu bloku v ní vzhledem k odlučitvosti skříň a tlakové ztrátě odlučovače a ověřit rozdelení prachu do jednotlivých buněk.

Zkouškami na modelu SDC 64 bylo stanoveno:

1. Rozdelení průtočného množství vzduchu na jednotlivé buňky je dobré.
2. Cyklónový blok ve skříně je nutno posunout co nejvíce dopředu.
3. Rozdelení prachu do jednotlivých řad buněk je přijatelné.

Recenzoval: Doc. Ing. Dr. Ladislav Oppl, CSc.

1. Úvod

V letech 1958—1963 byla ve VÚV vyvinuta typová řada cyklónů, která nahrazuje všechny dříve vyráběné mechanické odlučovače. Nové cyklóny mají vesměs lepší parametry. Jen některé typy velkých cyklónů jsou používány jako jednotlivé buňky. Většinou byly z buněk sestavovány multicyklóny, které jsou konstrukčně uspořádány tak, že představují vlastně dvoustupňový odlučovač. První stupeň je tvořen vnější skříní, do které vstupuje zaprášený plyn a v níž se usazují nejhrubší frakce. Teprve potom vstupuje plyn do cyklónů. Zatímco vlastní cyklóny prošly před normalizací velmi důkladnými zkouškami, byly skříně navrženy jen podle zkušenosti pracovníků oddělení odlučování a spíše s ohledem na rozměrovou vhodnost pro projekci, tj. návaznost na potrubí a elektroodlučovače, než z hlediska proudění uvnitř skříně. I když nelze říci, že by tvary skříní působily rušivě na proudění uvnitř multicyklónů, je jasné, že ověřením proudění na modelech dalo by se na jejich tvarech mnohé vylepšit. To byl jeden z cílů úkolu řešeného ve VÚV v letech 1963 až 1964. Druhým cílem úkolu bylo ověřit u dosavadní skříně rozdelení prachu do jednotlivých cyklónů.

2. Popis zkušebního zařízení a zkoušek

Model multicyklónu

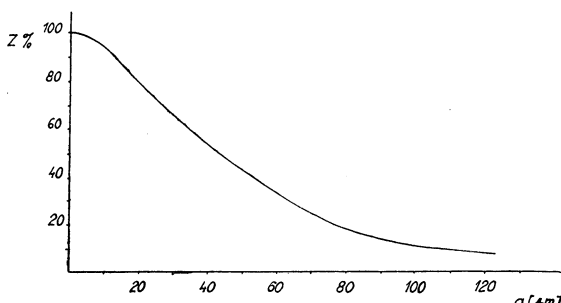
Měření byla prováděna na modelu odlučovače SDC 64, který byl vyroben v prototypové dílně VÚV. Typ SDC 64 je největší multicyklón řady D a je osazen 64 cyklóny (osový s vratným tokem $\varnothing 315$, typ VI/315). Tento typ byl zvolen proto, že se u něho jako u největšího předpokládá nejhorské rozdelení prachu.

Model skříně a bloku byl proveden v měřítku 1 : 5. Jelikož našim úkolem bylo ověřovat jen proudění ve skříně, rozhodli jsme se neprovádět blok s modely cyklónů, ale pouze s buňkami tvořenými dvěma souosými trubkami. Skřín byla provedena a zkoušena ve třech velikostech — normální, malé a velké.



Volba prachu a provozních poměrů

Při měření odlučivosti skříní byl použit jako zkušební prach popílek z výsypky elektroodlučovačů z elektrárny Závodů čs.-sovětského přátelství v Záluží u Mostu (kurva zbytku na obr. 1). Pro měření rozdělení prachu do jednotlivých buněk byl použit monodisperzní prach plavuňový.



Obr. 1. — Kurva zbytku použitého zkušebního prachu ($\rho = 1\ 000 \text{ kg/m}^3$)

kami, kterými byly zakončeny buňky. Tyto elonky byly nejprve ocejchovány měřicí tratí. Měření ukázala, že protékající množství se pohybuje od 92 %—107,5 %. Tyto krajní hodnoty se vyskytly jen jednou a byly patrně způsobeny výrobní nepřesností. Většinou buněk protékalo okolo 100 % průměrného množství.

Po těchto předběžných měřeních bylo možno přistoupit k vlastním zkouškám odlučivosti skříní a rozdělení prachu.

Podmínky podobnosti a metodika zkoušek skříní

Pro měření odlučivosti byly zvoleny tři body provozní charakteristiky odlučovače SDC 64 uvedené v normě PJ 12 42 46. Podle této charakteristiky odpovídá zvoleným tlakovým ztrátám na díle 470; 708; 940 N/m² (48; 72; 96 kp/m²), průtočné množství (63, 77, 88) $\cdot 10^3 \text{ m}^3/\text{h}$. Z podobnostních kritérií určujících podobnost dějů proudění je nutno vybrat vždy kritérium, které je pro daný případ rozhodující. Předem je nutno vyloučit kritérium Eulerovo (charakterizuje tlakovou ztrátu) a kritérium Reynoldsovo (charakterizuje turbulenci proudění), i když by tato kritéria mohla mít na proudění a odlučování ve skříní částečný vliv. Vzhledem k tomu, že celý model multicyklónu není přesně geometricky podobný dílu (buňky místo cyklónů), že pracujeme se stejnou vzdušinou (zhruba stejná vazkost) jako v díle, kterou nemůžeme upravovat a že podáváme stejný prach jako v díle, není možné tato kritéria brát v úvahu. Jelikož však jde o odlučování ve skříní, lze předpokládat, že převážná část prachu se odloučí vlastní tíhou (hrubé částice), na což nemá turbulence proudu velký vliv. Nedodržení tlakové ztráty je pak způsobeno hlavně tím, že buňky nemají stejnou tlakovou ztrátu jako cyklóny, což opět neovlivní proudění ve skříní.

Z pohybové rovnice částice lze odvodit dvě podobnostní čísla, která charakterizují pohyb. Jsou to: číslo Stokesovo $Stk = \frac{w_k \cdot w_o}{gD}$ a číslo Froudeho $Fr = \frac{w^2}{gD}$ (w_k — konečná rychlosť částice, w_o — rychlosť plynu ve zvoleném průřezu, w — rychlosť částice).

3. Proudění čisté vzdušiny

Nejprve byla vyzkoušena těsnost zařízení. Přisávané množství do skříně bylo menší než 0,1 % průtočného množství. Potom bylo proměřeno rozdělení množství čistého vzduchu do jednotlivých buněk a směry proudění ve skříní. Rozdělení do jednotlivých buněk bylo měřeno clonvami,

Kritérium Stokesovo určuje pohyb částice při inerčním odlučování (je to charakteristické číslo pro cyklón), zatímco kritérium Froudeho je rozhodující při posuzování působení vnějších sil, v našem případě tíhy částice. Je tedy v našem případě tíhového odlučování ve skříni kritériem hlavním. Z podmínky $Fr = \text{konst}$. plynou rychlosti částic (a tím též plynu) v modelu:

$$Fr = \frac{w_d^2}{gD_d} = \frac{w_m^2}{gD_m}$$

$$D_m = \frac{D_d}{5}$$

$$Fr = \frac{w_m^2 \cdot 5}{gD_d} = \frac{w_d^2}{gD_d}$$

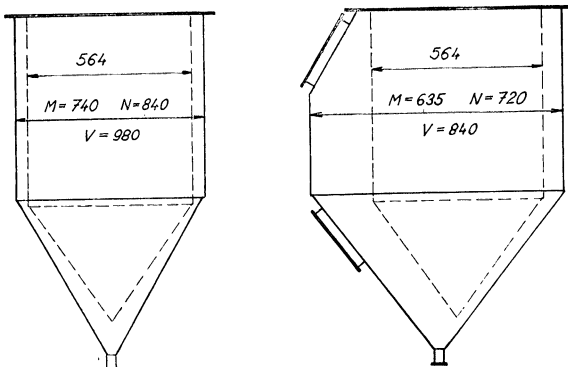
$$w_m = \frac{w_d}{\sqrt{5}}$$

Index d se vztahuje na dílo, index m se vztahuje na model. To znamená, že rychlosti (a tím i průtočná množství) je třeba dělit $\sqrt{5} = 2,24$. Průtočná množství Q_m pro zvolené tlakové ztráty vychází pak takto:

$$Q_m = \frac{Q_d}{25 \cdot 2,24}$$

Pro tlakové ztráty 470; 708; 940 N/m² jsou to množství 1 130, 1 390, 1 580 m³/h.

Při těchto průtočných množstvích byla měřena odlučivost skříní. Tlaková ztráta modelu vycházela poněkud nižší, i když odporný součinitel je u modelu vyšší než v díle. Toto bylo způsobeno nižšími průtočnými rychlostmi nutnými pro zachování vztahu $Fr = \text{konst}$.



Obr. 2. — Rozměry skříní malé (M), normální (N) a velké (V).

Byla měřena tři provedení skříně, tj. normální, velké a malé. Jejich vzájemná velikost je vidět z obr. 2. V normální skříně, která odpovídá skutečnému odlučovači, byla ještě měřena odlučivost s blokem v poloze úplně vpředu. Tato poloha by odpovídala posunutí bloku cyklónů na díle asi o 250 mm směrem ke vstupu.

Výsledky měření skříní a jejich zhodnocení

V prostoru těsně za vstupem se při napojení spodního vstupu vytváří vířivé prouďení, které je dosti nepříznivé. U odlučovače SDC v Cementkombinátu v Ostravě toto intenzivní víření dokonce způsobilo prošlehaní skříně, i když cyklóny jsou v poměrně dobrém stavu. Posunutím bloku dopředu se toto proudění poněkud mírní.

Koncentrace přiváděného prachu byla udržována mezi 3—6 g/m³. Byly naměřeny tyto hodnoty:

Δp na díle [N/m ²]	O_e [%]	O_e [%] (blok vpředu)
470	22	24
708	15	17
940	11	11,6

U skříně velké bylo dosaženo jen nepatrně menší tlakové ztráty a odlučivost se zlepšila asi o 0,1 hodnoty skříně normální. Skřín malá byla podstatně horší v odlučivosti (asi o 0,2) proti skříni normální a měla nepatrně vyšší tlakovou ztrátu.

Na základě těchto výsledků jsme doporučili ponechat skřín v dosavadní velikosti a cyklónový blok posunout co nejvíce dopředu. Odlučivost normální skříně s posunutým blokem je totiž stejná jako odlučivost skříně velké s blokem v normální poloze.

Všimněme si ještě vlivu nedodržení Stokesova čísla skříně na její odlučivost. Jak už bylo řečeno, je Stokesovo číslo kritériem, charakterizujícím inerční odlučování, zatímco ve skříni probíhá většinou odlučování tíhové (usazovací komora). Přesto však některé částice se odlučují působením odstředivé síly, neboť vykonávají složitou prostorovou dráhu. Porovnáme-li velikost Stokesova čísla pro model a dílo dostaneme:

$$Stk_d = \frac{w_{kd} \cdot w_{od}}{g D_d}$$

$$Stk_m = \frac{w_{km} \cdot w_{om}}{g D_m}$$

$$w_{om} = \frac{w_{od}}{\sqrt{5}}$$

$$D_m = \frac{D_d}{\sqrt{5}}$$

$$Stk_m = \frac{w_{km} w_{od} \cdot 5}{D_d \cdot \sqrt{5} g} = \frac{\sqrt{5} w_{km} \cdot w_{od}}{g \cdot D_d}$$

Protože byl pro zkoušky použit popílek, pro který se odlučovač normálně používá, platí $w_{kd} = w_{km}$ a tedy:

$$Stk_m = \frac{\sqrt{5} w_{kd} \cdot w_{od}}{g D_d} = 2,24 Stk_d$$

Je tedy odlučovací schopnost skříně modelu vyšší než skříně díla, protože model má zlepšené podmínky inerčního odlučování. Jelikož inerční odlučování ve skříni představuje řádově menší vliv než odlučování tíhové, lze předpokládat, že jim měření nebylo příliš ovlivněno. Kromě toho šlo spíše o zjištění relativního hodnot než absolutních čísel odlučivosti.

K dodržení Stokesova čísla stejného jako u díla bylo by třeba složité úpravy prachu. Stokesovo číslo je možno upravovat (v případě, kdy není možno měnit roz-

měr modelu ani rychlost w_o) jen změnou pádové rychlosti prachu. Z rozboru rovnic $w_{km} = \frac{w_{kd}}{\sqrt{5}}$ a $w_{km} = \frac{a^2 \cdot \rho_m \cdot g}{18\eta}$ plyne, že pro $Stk_m = Stk_d$ musí platit $a_m = \frac{a_d}{1,5}$.

Pro dodržení $Stk_m = Stk_d$ by bylo nutno použít prach, jehož křivka zbytku by vyhovovala tomuto vztahu.

4. Měření proudění vzdušiny s příměsí — rozdělení do buněk

Dalším cílem tohoto úkolu bylo ověřit rozdělení prachu do jednotlivých buněk. Tento odlučovač má totiž nahrazovat dosavadní odlučovače BMM, u nichž rozdělení není příliš příznivé.

Množství prachu vstupující do jedné buňky bylo měřeno tak, že buňka byla zespodu uzavřena snímatelným uzávěrem, takže mezi výstupní trubkou a dnem uzávěru vznikla malá štěrbina, kterou vzduch s prachem procházel. Vysoká rychlosť ve štěrbině způsobovala, že v buňce se nic neusazovalo a všechn prach odcházel výstupní trubkou, na jejímž konci byla nasazena sonda zakrývající celý výstupní průřez trubky. Sonda byla spojena s papírovým filtrem, na kterém se zachycoval plavuňový prášek. Množství vzduchu odpovídající průtoku jednou buňkou (zjištěné z dřívějšího měření) bylo odsáváno dmychadlem ORDH a měřeno clonkovou tratí. I když jsme patrně nedosáhli přesně izokinetickeho odběru, domníváme se, že chyba v rychlosti nebyla příliš velká. Sondování bylo provedeno u 16 buněk vybraných tak, abychom získali přehled o množství procházejícím různými řadami.

Plavuňový prach je skoro přesně monodisperzní a jednotlivé částice mají tvar koule o průměru $\varnothing 0,030$ mm. Měrná hmota plavuně je $1\,000 \text{ kg/m}^3$. Je třeba zjistit, jak velkým částicím na díle odpovídají plavuňové částice v modelu.

Podmínky podobnosti a metodika zkoušek rozdělení prachu

Jelikož vzduch je do jednotlivých buněk rozdělen dosti rovnoměrně, bude o rozdělení prachu rozhodovat to, jak budou jednotlivé částice vzduchu sledovat trajektorie makročastic vzdachu, kterými jsou unášeny.

Jde tedy o podobný problém, jako při inerčním odlučování, kdy rozhodujícím kritériem je číslo Stokesovo, charakterizující pohyb částice při zanedbání vlastní tíhy částice. Pokusy ukázaly, že těža částice skutečně nemá na rozdělení podstatný vliv. Velikost rovnocenné částice na díle odvodíme tedy za předpokladu $Stk_m = Stk_d$. Tlakovou ztrátu na díle volíme $\Delta p = 470 \text{ N/m}^2$ a průtok modelem $Q_m = 1\,130 \text{ m}^3/\text{h}$, čemuž odpovídá poměr rychlostí

$$w_{od}/w_{om} = \sqrt{5}$$

$$Stk_m = Stk_d$$

$$\frac{w_{km} w_{om}}{g D_m} = \frac{w_{kd} w_{od}}{g D_d}$$

$$\frac{w_{km} w_{om} \cdot 5}{D_d w_{od}} = \frac{w_{kd}}{D_d}$$

$$w_{km} \cdot \frac{5}{\sqrt{5}} = w_{kd} = \sqrt{5} w_{km}$$

$$w_{ka} = \frac{a_d^2 \cdot \varrho_m \cdot g}{18\eta} = \sqrt[4]{5} \frac{a_m^2 \cdot \varrho_m \cdot g}{18\eta}$$

$$a_d = a_m \cdot \sqrt[4]{5} = 1,5a_m$$

Kulové částice o měrné hmotě $1\ 000\ kg/m^3$ a velikosti $\varnothing\ 0,045\ mm$ budou na díle rozdeleny do jednotlivých cyklónů jako plavuň v modelu.

Výsledky měření rozdělení prachu

Výsledky ukázaly, že okrajové řady buněk (uspořádání do čtverce 8×8) jsou zatíženy asi na 45 % průměrné hodnoty. Druhé řady buněk (zprava a zleva ve směru proudu) byly zatíženy 107 %, třetí řady na 153 % a u dvou prostředních řad dosahovalo zatížení 170 %.

Vzhledem k praktické dosažitelnosti rovnoramenného rozdělení u multicyklónů není toto rozdělení špatné. Je třeba si uvědomit, že u jemnějších částic bude podstatně lepší a u hrubších horší. Hrubé částice se však částečně odloučí už ve skříni, takže nebudou příliš zhoršovat rovnoramennost rozdělení.

5. Závěr

Modelové zkoušky s prachem jsou velmi obtížné a při určování provozních stavů, při kterých se měří, je třeba dělat určité zjednodušující předpoklady, které i když ne podstatně, jistě ovlivňují dosažené výsledky. Snažili jsme se při provádění pokusu vždy o to, aby chom vytvářeli pro odlučovací pochod horší podmínky než u díla (nízká koncentrace, vysušený prach — nemožnost vzniku koagulace), nemohl jsme ovšem ovlivnit nepříznivé vlivy vznikající u díla buď při výrobě nebo montáži (netěsnost) nebo špatnou údržbou (zanesení, netěsnost). Nelze tedy dosažené číselné hodnoty brát jako zaručené hodnoty. Nebylo ani cílem takového hodnoty získat.

LITERATURA

Pražák: Čištění plynů

ПРОВЕРКА НА МОДЕЛЯХ ОПТИМАЛЬНЫХ РАЗМЕРОВ ШКАФОВ МУЛЬТИЦИКЛОНОВ

Инж. Йиржи Гейма

При написании статьи преследовалась цель выявления наиболее пригодных размеров шкафов и расположения блока в нем, с учетом отдельительности шкафа и потере давления отелятеля, а также проверки распределения пыли на отдельные клетки.

- В результате испытаний на модели СДЦ 64 было установлено:
1. Распределение проходящего воздуха между отдельными клетками хорошее.
 2. Циклонный блок в шкафу надо подвинуть как можно ближе вперед.
 3. Распределение пыли между отдельными рядами клеток регулярное.

ÜBERPRÜFUNG DER OPTIMALEN ABMESSUNGEN DER MULTICYKLONGEHÄUSE AM MODELL

Ing. Jiří Hejma

Zweck der im Artikel beschriebenen Aufgabe war die Bestimmung der Lage des Blockes im Gehäuse mit Rücksicht auf die Abscheidefähigkeit des Gehäuses und den Druckverlust im Abscheider, sowie die Nachprüfung der Verteilung des Staubes in die einzelnen Zellen.

Mit den Prüfungen am Modell SDC 64 wurde festgestellt:

1. dass die Verteilung der Luftdurchflussmenge in die einzelnen Zellen richtig ist,
2. dass der Cyklonblock im Gehäuse so weit als möglich vorzuschieben ist,
3. dass die Verteilung des Staubes in die einzelnen Zellenreihen den Anforderungen entspricht.

MODEL VERIFICATION OF OPTIMAL SIZES OF THE BOXES OF MULTICYCLONES

Ing. Jiří Hejma

The aim of the described task in this paper was to ascertain the most advantageous dimensions of the box and the position of the block in it with regard to the separability of the box and to the loss in pressure of the separator and to verify the distribution of dust in the individual cells. Based on the model SDC 64 it was determined:

1. Distribution of the air flow quantity in individual cells is good.
2. Cyclone block in the box has to be moved as much as possible forward.
3. Distribution of the dust in individual cells is acceptable.

VÉRIFICATION DES DIMENSIONS OPTIMALES DES CAISSES DE MULTICYCLONES SUR UN MODÈLE

Ing. Jiří Hejma

Le but de la tâche décrite dans l'article présenté était de constater les dimensions les plus avantageuses de la caisse et la position du bloc dans celle-ci vu la séparabilité de la caisse et la perte de charge du séparateur et de vérifier la répartition de la poussière dans les cellules individuelles.

Par les essais sur le modèle SDC 64 on a constaté:

1. Répartition du débit d'air dans les cellules individuelles est bonne
2. Il faut avancer le bloc de cyclone dans la caisse le plus possible.
3. Répartition de la poussière dans les séries de cellules est acceptable.

Upozornění

Z aktivu o malých čistírnách odpadních vod můžeme zájemcům dodat sborník referátů.
Sborník obsahuje:

1. Podklady pro návrh odvedení a zneškodnění odpadních vod.
2. Konstrukci a projektové podklady čistírenských objektů.
3. Provoz, sledování a ekonomiku malých čistíren.
4. Výkresovou dokumentaci.

Cena sborníku je 30,— Kčs. Objednávky zašlete na adresu:

Doc. Ing. J. Lutovský, ČVUT — Fakulta stavební, katedra technických zařízení budov,
Praha 6 — Zikova 4.

● Mokrý elektrostatický odlučovač

Při braní vzorků radioaktivních produktů štěpení musí být mezi odběrem vzorku a jeho vyhodnocením co možno nejkratší a vždy totéž časové rozmezí. Proto se používá různých konstrukcí, např. pohybující se drát jako elektroda nebo otácející se kotouč. Usazené radioaktivní produkty na těchto plochách jsou uvedenými způsoby pravidelně a rychle přiváděny k počítací. Nově navržené zařízení používá místo uvedených způsobů kapalinového filmu, který se na elektrodě rovnoměrně obnovuje. Precipitátor O. M. Strindehaga sestává z válcové trubky, v jejímž středu jsou napnuty dva dráty o průměru 0,2 mm ve vzdálenosti 1,5 mm. Na obou těchto drátech je tenká kapalinová vrstvička, jejíž průtok je nastaven asi na 0,5 ml/s. Produkty štěpení se po vytvoření elektrického pole zachycují na tomto kapalinovém filmu a jsou odváděny automaticky k počítací (Čerenkovův počítací). Dále bylo navrženo zařízení, kterého může být použito při vyšších tlacích až do 100 bar. (*Podle Rev. sci. Instruments 1/67.*)

(Je)

● Vakuová sušárna organických látek

(Chem. Process 1967, č. 9).

Čisté organické látky se dosud vysoušely v teplovzdušné lisové sušárně po dobu 12—24 hodin. Podstatné zintenzivnění sušení bylo dosaženo periodicky pracující vakuovou sušárnou. Zařízení má horizontální válcovou komoru s topným pláštěm a je opatřeno míchadlem. Při absolutním tlaku asi 200 kp/m² se doba sušení zkrátila na 6—8 hodin a výkonnost sušárny stoupla na 40 kg usušeného produktu za hodinu. (*Ref. žurnál chémia, č. 13, 1967.*)

(Tm)

● Rozprašovací sušárna pastovitých materiálů.

V poslední době se pro sušení past o vazkosti do 1000 poise používají rozprašovací sušárny, v nichž je možno získat stejnorodý konečný produkt. Rozprašovací sušárna pigmentu o výkonnosti 500 kg/h má průměr věže 1,8 m a výšku 13,5 m. Zpracovávaný pigment má počáteční vlhkosť 0,55 kg/kg a je rozprašován dvoulátkovou tryskou. Ve srovnání s dříve používanými způsoby sušení v tunelové sušárně se snížily náklady na sušení o 40 %. Ve statí se dále popisují rozprašovací sušárny, použité při sušení kysličníku titaničitého, keramických

jílů, uhličitanu vápenatého, škrobu a řady anorganických pigmentů. Tyto pastovité materiály se rozprašují dvoulátkovými tryskami, a to stlačeným vzduchem nebo přehrátu párou. Objemový poměr rozprašovacího média je 8 : 1 u vzduchu a 6 : 1 u páry. Výkonnost trysek dosahuje až 6 000 kg/h. (*Chem. Process č. 9, 1966.*)

(Tm)

● Nový elektrický teploměr

Nový teploměr fy AEG-Telefunken je určen pro rychlé provozní měření. Pro žádaný rozsah měření a použití je vybaven přepínáním a třemi čidly, které se připojují k přístroji 1,5 m dlouhým přívodem. Celkový rozsah měření od —10° do 800 °C je rozdelen na 6 stupňů. Pro spodní rozsah —10°÷200 °C, který je rozdelen do 4 stupňů, je možno použít dvě různá čidla, v jejichž hrotech jsou zabudovány polovodiče. Kovové čidlo slouží k měření povrchových teplot pevných těles. Doba náběhu teploty 200 °C je 9 s. Skleněným čidlem se měří teploty plynů nebo kapalin, přičemž doba náběhu do 200 °C je 3 s.

Obě čidla jsou zapojena můstkově. Zdrojem napětí je tužková baterie 1,5 V. Potenciometrem, přístupným zvenčí, se dá vyrovnat můstkové napětí. Největší chyba v údaji je ± 2 grd.

Pro vyšší teploty do 800 °C je další kovové čidlo, opatřené na hrotě termočlánkem. Největší chyba je ± 3 % z měřeného rozsahu.

Přepínání měřeného rozsahu je provedeno na přístroji. Šesti měřicím okruhům odpovídá šest stupnic. Všechna čidla jednoho druhu jsou vyrovnaná na stejně hodnoty, a proto jsou mezi sebou zaměnitelná.

(Je)

● Některá použití mikroskopie při kontrole znečištění ovzduší

Použití mikroskopie ke zjišťování znečištění atmosféry tuhými částicemi a tím i stanovení jejich původu nabývá stále více na významu. Mc Crone Associates v Chicago vypracovala pro částice atmosférického znečištění (průmyslové prachy a produkty spalování) atlas prachu, ve kterém je popis částic doplněn četnými mikroskopickými snímkami. Na čtyřech případech je vysvětleno použití mikroskopické analýzy. (*Podle článku Fergeson J. S., Sheridan E. G.: Some applications of microscopy to air pollution v J. Air Pollution Control Assoc. 12/66.*)

(Je)

POZNÁMKY K TERMODYNAMICE VAZBY VLHKOSTI SE SUŠINOU

ING. VOJTECH VANĚČEK, CSc. — ING. KAREL HOFBAUER

Výzkumný ústav anorganické chemie, Ústí n. L.

V sušárenství se většinou setkáváme s vlhkostí vázanou nějakým způsobem na sušinu (kapilárními silami, adsorpčí, v koloidním systému, osmoticky, chemicky). Teoreticky zajímavou je pak energie vazby, tj. minimální práce potřebná k uvolnění vlhkosti od sušiny a značný praktický význam má změna entalpie doprovázející uvolnění vlhkosti od sušiny. Neznalost této změny entalpie nebo, jinak řečeno, ničím neodůvodněný předpoklad, že k vypaření vázané vlhkosti je zapotřebí stejněho tepla jako k vypaření čisté kapaliny, může vést k chybě v entalpické bilanci sušárny velikosti až desítky percent.

Pokusili jsme se rekапitulovat současný stav teorie a pro lepší názor podat v příkladech několik číselných hodnot.

Recenzoval: Ing. Václav Tůma, CSc.

TEORETICKÁ ČÁST

Spotřeba tepla na vysušení vlhkosti

Uvažujeme změnu entalpie ΔH_v , doprovázející vypaření vázané vlhkosti za vzniku par čisté vlhkosti, tj. v případě vody jako vlhkosti děj

$$\text{H}_2\text{O} [(\text{l}), \text{vázaná}] = \text{H}_2\text{O} [(\text{g}), \text{čistá}] \quad (1)$$

při čemž nerozhoduje, zda voda je vázána např. jako adsorbát nebo třeba v nasyceném roztoku mechanicky ulpívajícím na povrchu rozpustné látky či jinak.

Pouhé uvolnění vázané vlhkosti bez vypaření, tj. děj

$$\text{H}_2\text{O} [(\text{l}), \text{vázaná}] = \text{H}_2\text{O} [(\text{l}), \text{čistá}] \quad (2)$$

je doprovázeno změnou entalpie

$$\Delta H = \Delta H_v - \Delta H_v^o \quad (3)$$

Jak známo, Clausius-Clapeyronovy rovnice pro závislost tenze par nad čistou kapalinou na teplotě lze použít k vystížení teplotní závislosti tenze par i v jiných systémech, např. nad roztoky netěkavých rozpustěných láttek při konstantní koncentraci nebo nad adsorbovaným plynem při konstantním adsorbovaném množství (izostera) apod., tedy pro potřeby sušárenství

$$\left(\frac{\partial \ln P}{\partial T} \right)_u = \frac{\Delta H_v}{RT^2} \quad (4)$$

Zde indexem u zdůrazňujeme požadavek konstantní vlhkosti. Známe-li tedy sorpční izotermy $P(u)$ alespoň při dvou teplotách T , můžeme pro zvolenou hodnotu u vypočítat $(\partial \ln P / \partial T)$ a odtud ΔH_v . Samozřejmě ΔH_v je opět funkcí u i T .

Napíšeme-li rovnici (4) jednou pro vlhkost vázanou a podruhé pro čistou vlhkost a rovnice od sebe odečteme, obdržíme

$$\Delta H = RT^2 \left(\frac{\partial \ln \varphi}{\partial T} \right)_u \quad (5)$$

kde ΔH je opět funkcí u i T . Stejně dobře tedy můžeme vyjít ze sorpčních izoterm $\varphi(u)$ a ΔH_v , dopočítat pomocí vztahu (3).

Jsou známy systémy, pro které $\varphi(u)$ s teplotou roste, jiné, pro které $\varphi(u)$ přibližně na teplotě nezávisí a také takové, pro které $\varphi(u)$ s teplotou klesá. Podmínkám $(\partial \varphi / \partial T)_v \geqq 0$ odpovídá $\Delta H_v \geqq \Delta H_v^\circ$.

Energie vazby vlhkosti

Minimální práce potřebná k izotermnímu uvolnění vlhkosti od sušiny podle rovnice (2) je za podmínky konstantního objemu dána změnou volné energie (Helmholtzovy funkce), obvyklejší je však použití změny volné entalpie (Gibbsovy funkce), které je sice oprávněné při konstantním tlaku, avšak v daném případě se hodnoty obou veličin liší jen málo. Chovají-li se páry vlhkosti podle stavové rovnice ideálního plynu, je

$$\Delta G = RT \ln \frac{P}{P^\circ} = -RT \ln \varphi \quad (6)$$

(viz např. [1]) a ΔG pak považujeme za energii vazby vlhkosti. ΔG je funkcí u i T .

Vztah mezi spotřebou tepla a energií vazby

Vztah mezi změnou volné entalpie a změnou entalpie při konstantní teplotě a tlaku je obecně dán Gibbs-Helmholtzovou rovnicí

$$\Delta G = \Delta H + T \left(\frac{\partial \Delta G}{\partial T} \right)_P \quad (7)$$

Vztahy (5) pro ΔH , (6) pro ΔG a pro libovolné u vyhovují Gibbs-Helmholtzově rovnici (7) uvážíme-li, že z rovnice (6) plyne

$$\left(\frac{\partial \Delta G}{\partial T} \right)_{P,v} = -R \left[\ln \varphi + T \left(\frac{\partial \ln \varphi}{\partial T} \right)_u \right]$$

a zanedbáme-li malý vliv tlaku na energii vazby.

Nikitina [1] chybně nerozlišuje mezi ΔH a ΔG a doporučuje počítat spotřebu tepla na vysušení ne jako ΔH_v podle vztahu (3), ale jako součet výparné entalpie čisté vlhkosti ΔH_v° a energie vazby vlhkosti ΔG , což může vést ke značným chybám, jak je dále patrnó z vypočtených příkladů.

Je ovšem možno z údajů o energii vazby a její závislosti na teplotě podle vztahu (7) vypočítat ΔH .

Hodnoty ΔH_v , ΔH a ΔG v průběhu vysoušení

Hodnoty ΔH_v , ΔH a ΔG vypočtené podle vztažů (4), (5) a (6) jsou funkcemi u i T . Chceme-li znát celkovou změnu v průběhu sušení, musíme tyto funkce vyšetřit. Chceme-li zjistit výpočetní hodnoty počítané z obsahu vlhkosti u_1 na u_2 při konstantní

V jednodušším případě, při teplotě T jsou střední hodnoty

$$\overline{\Delta H} = \frac{1}{u_2 - u_1} \int_{u_1}^{u_2} \Delta H \, du \quad \text{resp.} \quad \overline{\Delta H}_v = \frac{1}{u_2 - u_1} \int_{u_1}^{u_2} \Delta H_v \, du \quad (8)$$

a poněvadž ΔH°_v na u nezávisí, máme podobně k rovnici (3)

$$\overline{\Delta H} \equiv \overline{\Delta H}_v - \Delta H_v^\circ \quad (9)$$

Obvykle se všem v průběhu sušení mění i teplota odpařování vlhkosti. Chceme-li tuto okolnost vzít při výpočtu v úvahu, je nejlépe postupovat podle Heesova zákona. Vypočteme ΔH resp. ΔH_v v závislosti na u pro některou teplotu T . Spotřebu tepla na uvolnění resp. vypaření vlhkosti a ohřev materiálu vypočteme jako součet spotřeby tepla na ohřev vlhké látky z T_1 na T , $\overline{\Delta H}$ resp. $\overline{\Delta H_v}$ a spotřeby tepla na ohřev produktů (tj. vysušené látky a uvolněné vlhkosti kapalné resp. plynné) z T na T_2 .

Pro střední hodnotu práce potřebné k uvolnění vázané vlhkosti při izotermním ušení z u_1 na u_2 , lze psát vztah obdobný vztahu (8).

S PRAKTIČKÁ ČÁST

Některé zvláštní případy

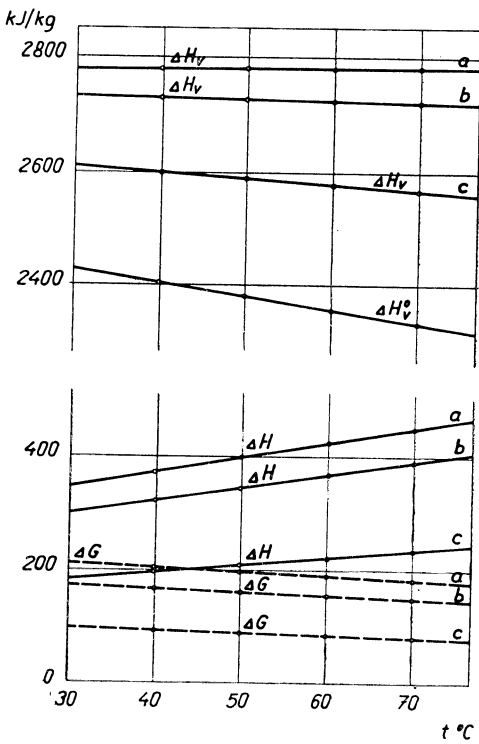
Takže uživat může na adsorpcí označujeme ΔH jako smáčecí teplo.

Je-li vlnkost vázána adsorpčí, označujeme ΔH jako směsce teploty. Je-li vlnkost přítomna ve formě roztoku netěkavé složky, jsou možné různé případy. Jedná-li se o nasycený roztok látky určené k sušení a mechanicky ulpívající na jejím povrchu (např. nečistot prostý matečný loup ulpívající na rozpustném krystalickém produktu) a sušíme-li při konstantní teplotě, je $\Delta H = \overline{\Delta H}$ až na znaménko rovno poslednímu diferenciálnímu rozpouštěcímu teplu vysoušené látky. V jiném případě může jít o sušení nenasyčeného roztoku při konstantní teplotě, mechanicky ulpívajícího na nerozpustné sušině. Pak je ΔH až na znaménko rovno příslušnému diferenciálnímu zředovacímu teplu a ΔH až na znaménko rovno integrálnímu zředovacímu teplu. Do jde-li v průběhu vysoušení k nasycení roztoku a k vynášení tuhé fáze, platí co bylo řečeno prve.

Příklady

Na základě tabelovaných desorpčních izoterm [1] bylo vypočteno několik příkladů.

Pro acetátové hedvábí byly interpolací z tabulek vyhledány pro tři různé obsahy vlhkosti experimentální hodnoty φ a vypočtené hodnoty ΔG v závislosti na teplotě. Závislost $\ln \varphi$ na T a ΔG na T bylo možno ve všech třech případech vyrovnat přím-



Obr. 1. Závislost ΔH_v , ΔH a ΔG na teplotě pro desorpci vlhkosti z acetátového vlákna.

a — $u = 0,0318 \text{ kg/kg}$
 b — $u = 0,0400 \text{ kg/kg}$
 c — $u = 0,0640 \text{ kg/kg}$

kou. Z hodnot $(\partial \ln \varphi / \partial T)_u$ pak byla pro každé zvolené u vypočtena závislost ΔH a ΔH_v na teplotě. Takto vypočtené hodnoty ΔH byly porovnány s hodnotami ΔH , vypočtenými z ΔG a $\partial \Delta G / \partial T$ pomocí Gibbs-Helmholtzovy rovnice (7). Nesouhlas nepřevyšoval v žádném případě 20 %. Poměrně značnou chybu lze vysvětlit malou přesností φ dat a zejména malou přesností při stanovení derivace $\partial \Delta G / \partial T$. Číselné hodnoty pro $u = 0,0318 \text{ kg/kg}$ jsou uvedeny v tab. I. Výsledky pro všechny hodnoty u jsou patrný z obr. 1.

Podobný výpočet byl proveden pro desorpci vlhkosti ze škrobu při jediném obsahu vlhkosti. Výsledek je patrný z obr. 2.

Tab. I. Desorpce vlhkosti z acetátového vlákna podle [1] při $u = 0,0318 \text{ kg/kg}$

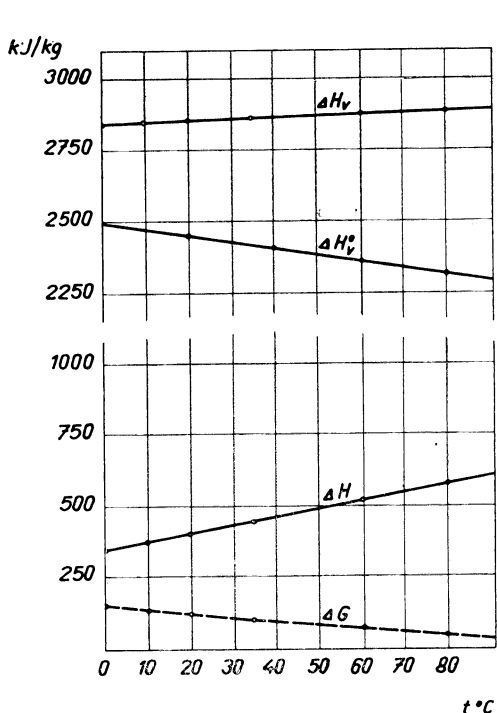
Hodnoty odečtené z tabulek			Hodnoty vypočtené						
T [°K]	φ	ΔG [kJ/kg]	$-\ln \varphi$	$-\frac{\partial \ln \varphi}{\partial T}$ [l/deg]	ΔH [kJ/kg]	$\frac{\partial \Delta G}{\partial T}$ [J/kg deg]	Rozdíl ΔH^*) [kJ/kg]	ΔH_v [kJ/kg]	
303	0,23	208,0	1,469 7		349,4		67,9	2 778	
313	0,25	203,4	1,386 5		371,9		47,4	2 776	
323	0,27	197,8	1,309 3	0,008 233	396,6	0,690 3	24,1	2 777	
333	0,30	185,5	1,204 0		421,3		-6,0	2 777	
343	0,32	181,6	1,139 4		444,7		-28,5	2 778	

*) ΔH vypočtené z rovnice (5) minus ΔH vypočtené z ΔG podle rovnice (7)

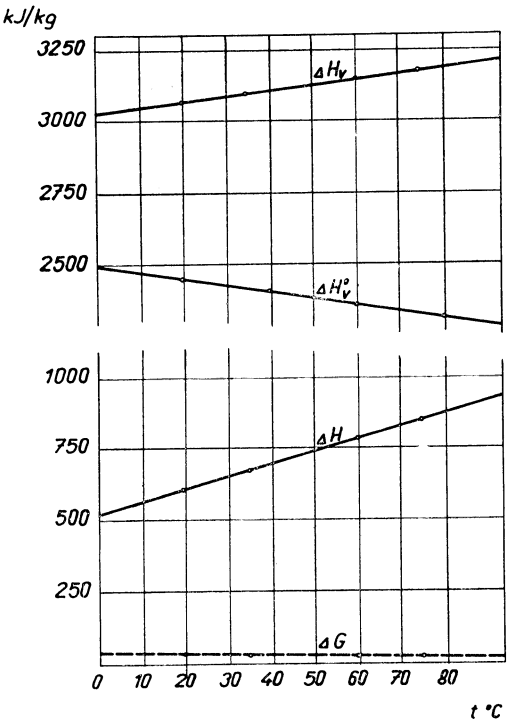
Další výpočet byl proveden pro desorpci vlhkosti z uhlí při jediném obsahu vlhkosti. Výsledek je patrný z obr. 3.

Ve všech třech případech je ΔH_v znatelně vyšší než ΔH_v° a ΔH se zřetelně liší od ΔG .

Teplotní závislost ΔH_v je v uvedeném teplotním intervalu malá, zato závislost ΔH_v na u nelze u acetátového hedvábí zanedbat.



Obr. 2. Závislost ΔH_v , ΔH a ΔG na teplotě pro desorpci vlhkosti ze škrobu při $u = 0,137 \text{ kg/kg}$



Obr. 3. Závislost ΔH_v , ΔH a ΔG na teplotě pro desorpci vlhkosti z uhlí při $u = 0,040 \text{ kg/kg}$

ZÁVĚRY

1. Pro entalpicí bilanci procesu sušení vázané vlhkosti je nutno uvažovat výparné teplo vázané vlhkosti ΔH_v a nikoliv výparné teplo čisté vlhkosti $\Delta H_v^°$. Veličinu ΔH_v lze vypočítat ze sorpčních izoterm podle vztahu (4) nebo podle vztahů (5) a (3).

2. Energie vazby vlhkosti ΔG se liší od ΔH ; vztah obou je dán Gibbs-Helmholtzovou rovnicí (7).

3. Veličiny ΔH a ΔH_v se v procesu vysoušení mění s vlhkostí i teplotou materiálu. Je proto nutno uvažovat střední hodnoty podle vztahu (8).

OZNÁČENÍ

- (g) označení plynné fáze,
- (l) označení kapalné fáze,
- (u) obsah vlhkosti [kg/kg] sušiny,
- ΔG změna volné entalpie při uvolnění vázané vlhkosti [kJ/kg],
- ΔH změna entalpie při uvolnění vázané vlhkosti [kJ/kg],
- ΔH_v změna entalpie při vypaření vázané vlhkosti [kJ/kg],
- $\Delta H_v^°$ změna entalpie při vypaření čisté vlhkosti [kJ/kg],
- P tenze par vázané vlhkosti [N/m^2],
- $P^°$ tenze par čisté vlhkosti [N/m^2],

R plynová konstanta vlhkosti ($[kJ/kg \ deg]$),
 T absolutní teplota ($^{\circ}K$),
 φ relativní vlhkost.

Indexy

1 počátek sušení,
2 konec sušení,
— střední hodnota.

LITERATURA

- [1] L. M. Nikitina: Tablitsy rovnovesnogo udeľnogo vlagosoderžanija i energii svjazi a materialom. Gesenergoizdat, Moskva, Leningrad, 1963.
[2] Fyzikálně chemické tabulky, 2 díl. SNTL, Praha, 1954.

**СООБРАЖЕНИЯ ПО ВОПРОСУ О ТЕРМОДИНАМИКЕ
ВЛЖНОСТИ С ВЛАЖНОСТИ С СУХИМ ВЕЩЕСТВОМ**

Инж. Войтех Vaněček — Инж. Карел Хоффбауэр
кадн. техн. наук

В сушильном производстве в большинстве случаев мы встречаемся с влажностью, имеющей какое-либо отношение к сухому веществу (капиллярные силы, адсорбция, в коллоидной системе, осмотическое, химическое). Теоретический интерес представляет собой энергия вязкости, т. е. минимальная работа, необходимая для освобождения влажности от сухого вещества, а большое практическое значение имеет изменение энталпии, сопровождающее высвобождение влажности из сухого вещества. Незнание этого изменения энталпии или, говоря другими словами, ничем необоснованная предпосылка, что к испарению соединенной влажности необходимо одинакового тепла, как для испарения чистой жидкости, может привести к ошибке в энталпийском балансе сушильни в диапазоне вплоть до десятков процентов.

Мы попытались воспроизвести состояние теории в настоящее время и для большей наглядности привести для примера несколько цифровых величин.

**BEMERKUNGEN ZUR THERMODYNAMIK
DER FEUCHTIGKEITSBINDUNG AN DIE TROCKENSUBSTANZ**

Ing. Vojtěch Vaněček. CSc. — Ing. Karel Hofbauer

In Trocknungsanlagen tritt meistens die in irgendeiner Art (durch Kapillarkräfte, Adsorption, im Kolloidal System, osmotisch, chemisch) an die Trockensubstanz gebundene Feuchtigkeit auf. Theoretisch interessant ist die Bindungsenergie, d. i. die minimal erforderliche Arbeit zum Entfernen der Feuchtigkeit aus der Trockensubstanz. Weiters ist von grosser praktischer Bedeutung die mit der Entfernung der Feuchtigkeit aus der Trockensubstanz verbundene Enthalpieänderung. Die Unkenntnis dieser Enthalpieänderung, oder mit anderen Worten, die mit nichts begründete Voraussetzung, dass zur Verdampfung der gebundenen Feuchtigkeit die gleiche Wärmemenge wie zum Verdampfen der reinen Flüssigkeit erforderlich ist, kann zu einem Fehler in der Enthalpiebilanz der Trocknungsanlage führen, in der Grössenklasse bis zu einigen zehn Prozent.

Wir haben versucht den gegenwärtigen Theoriezustand zu rekapitulieren und zu einer besseren Klarstellung einige Zahlwerte anzuführen.

**NOTES ON THE THERMODYNAMICS OF THE BINDING
OF HUMIDITY WITH DRY MATERIAL**

Ing. Vojtěch Vaněček. CSc. — Ing. Karel Hofbauer

In the drying trade we mostly meet humidity bound in some way with dry material (by capillary forces, adsorption, by the colloidal system, osmotically, chemically) — Also theoretically

interesting is the energy of the bondage i. e. the minimum work needed for the liberation of humidity from the dry material and the change of enthalpy accompanying the liberation of humidity from the dry material is of a considerably practical importance. The ignorance of this change of the enthalpy, or, said otherwise, by no thing justified presupposition, that the same heat is needed for the evaporation of a clear liquid, can lead to an error in the enthalpy balance of the drier of as much as a decade of percentage.

We have tried to recapitulate the present state of the theory and for greater clarity to present some numerical values in examples.

NOTES CONCERNANT LA THERMODYNAMIQUE DE LA LIAISON DE L'HUMIDITÉ AVEC DU RÉSIDU SEC

Ing. Vojtěch Vaněček CSc.—Ing. Karel Hofbauer

Dans l'industrie de séchage on rencontre dans la majorité de cas l'humidité liée d'une façon quelconque au résidu sec (par les forces capillaires, par adsorption, dans le système colloidal, osmotiquement, chimiquement). Théoriquement, c'est l'énergie de la liaison qui est intéressante, c'est-à-dire le travail minimal nécessaire au dégagement de l'humidité du résidu sec et d'une importance pratique considérable est le changement d'enthalpie accompagnant le dégagement de l'humidité du résidu sec. L'ignorance de ce changement d'enthalpie, ou, autrement dit, la supposition motivée de rien qu'il faut à l'évaporation de l'humidité liée la même chaleur comme celle à l'évaporation du liquide clair, peut mener à une erreur concernant le bilan d'enthalpie du séchoir allant à une grandeur jusqu'à une dizaine de pourcents.

On a essayé de récapituler l'état actuel de la théorie et pour offrir plus de clarté, présenter plusieurs valeurs numériques dans des exemples.

● Nová směrnice VDI o emisi z kotlů ústředního vytápění na koks

Dosavadní směrnice, vydaná v r. 1961, se zabývá pouze ručně obsluhovanými kotly pro ústřední vytápění na pevná paliva o výkonech do 600.000 kcal/h. Protože v posledním desetiletí byly dány do provozu četné kotle na koks s mechanickou obsluhou o výkonech 40.000 kcal/h až 10 Gcal/h, bylo nutno rozšířit směrnici na mechanicky obsluhované koksové kotly. Návrh směrnice VDI 2115, list 1, byl předložen v červnu 1967 k odborné diskusi.

Nová směrnice pojednává též o speciálních topeništích, která se prosadila v posledních letech pro spalování nespékavých paliv, zvláště koksu, pro výrobu horké vody nebo nízkotlaké páry. Zvláštní důraz byl položen na faktory zesilující nebo zeslabující emisi polétavého popílku.

Přitom byly vyzdvíženy zvláště ty faktory, na které musí být již při konstrukci kotle vzat zřetel, které nejsou tedy od provozovatele ovlivněny. Studium směrnice se doporučuje všem výrobcům kotlů.

Rozšíření směrnice na jiná pevná paliva se předpokládá ve formě listu 2. (*Podle HLH 9/67.*)

● Sušení materiálů ve vznosu

(Chemical Engineering č. 13, 1967.)

V přehledném článku jsou uvedena základní schémata proudových, rozprašovacích a fluidních sušáren. Jako nové konstrukce s intenzifikovaným sdílením tepla a přenosem hmoty označuje autor vertikální proudovou sušárnou s rozřízenou komorou, horizontální proudovou sušárnou se šroubovým prouděním a horizontální proudovou sušárnou s rozprašováním. Proudové sušárny s rozprašováním jsou vybaveny dvoulátkovými tryskami, v nichž je roztok rozprašován vzduchem o teplotě 420—650 °C přetlakem 0,7—1,0 kp/cm² do horizontálního potrubí. Kolem trysky se přivádí sekundární vzduch o teplotě 50—90 °C, který zamezuje usazování částic na stěny sušicího potrubí v oblasti trysky. Doba sušení je asi 16—20 milisekund. Sušení rozprašováním do proudové sušárny je tak vhodné pro teplotně citlivé materiály.

V článku jsou dále uvedeny v tabulkách formě celkové náklady na odpaření 1 kg vody ve fluidních sušárnách. Náklady na sušení klesají se stoupajícím výkonem zařízení. V sušárně o odparu 180 kg vody za hodinu jsou náklady na sušení čtyřikrát vyšší než ve stejném zařízení o odparu 715 kg/h.

(Je)

(Tm)

● Nový závod fy Trane

Po zavedení výroby vzduchových chladičů a vzduchových ohřívačů jsou nyní v novém závodě fy Trane v Epinalu ve Francii vyráběny též klimatizační strojovny a ohřívače vzduchu.

Klimatizační strojovny jsou zařízení pro mnohostranné použití, která se hodí pro úpravu vzduchu každé budovy. Jednotky pro jednozónovou klimatizaci se vyrábějí v patnácti velikostech, pro mnohozónovou ve 13 velikostech a dodávají se v nízkotlakém a středotlakém provedení. Objemový průtok vzduchu pohybuje se od 1 200—80 000 m³/h.

Vytápěcí jednotky ve stavebnicové konstrukci se mohou použít pro větrání a vytápění velkých budov. Velké množství velikostí (2 typy o 8 velikostech) umožňují každý způsob instalace a použití. Průtok dopravovaného vzduchu jednotek je 1 500—34 000 m³/h. Každá velikost se zkouší ve zkoušebním ústavu na celkový průtok vzduchu, aby byly dodrženy garantované hodnoty. (Podle HLH 9/67.)

(Je)

● Řešení problémů znečištění vzduchu diagnostickými vzorky vzduchu

Vzorky vzduchu mohou být použity jako účinný diagnostický prostředek k identifikaci pramenů znečištění vzduchu a jejich vzniku při pracovních pochodech, jakož i ke stanovení vhodných způsobů kontroly znečištění vzduchu. Diagnostická metoda odběru vzorků vzduchu dovoluje nahlédnout do objemu nečistot vzduchu, závislých na místě nebo času nebo od obou faktorů současně. Metoda je vysvětlena na několika příkladech. (Podle Soling air contamination problems through diagnostic air sampling—Breslin A. J. v Amer. ind. Hyg. Assoc. J. 5/66.)

(Je)

● Obsah prchavých podílů při sušení vodních roztoků uhlohydrátů

M. Mentling a B. Hoogstadt se zabývali dynamikou sušení sladového výtažku, obsahujícího glukózu, maltózu a dextrynu, probíhajícího v prostředí teplého vzduchu. K vysoušenému roztoku byl přimísen aceton, obsahující radioaktivní uhlík. Experimenty prokázaly, že se při sušení vytváří na povrchu kapek film, který je propustný pro vodní páru, avšak zcela nepropustný pro páry acetolu. Rychlosť vzniku filmu je úměrná koncentraci vysoušeného roztoku. Stejně výsledky byly zjištěny při přimíšení etanolu, benzolu a etylacetátu do vysoušeného roztoku. V dané

práci se nepodařilo objasnit příčiny separativní propustnosti povrchového filmu kapek sladového výtažku. (J. Food. Sci. č. 1, 1967.)

(Tm)

● Nový způsob sušení roztoků, emulsí, dispersí a past

Patentem NSR č. P 39 319x/82a je chráněn nový způsob sušení teplotně citlivých kapalných materiálů vzduchem o normální teplotě. Zařízení má vertikální válcovou komoru, přepaženou membránou z monofilové tkaniny (polyetylén, polyester, PVC, polypropylen apod.). O velikosti otvorů 10—100 µm. Na tužou membránu se přivede vysoušená kapalina a zároveň se zapojí uzavřený okruh sušicího vzduchu, který prochází vysoušenou vrstvou zdola nahoru. Při průchodu membránou se vzduch rozdělí na malé bublinky, jejichž velikost je závislá na vlastnostech tkaniny a vytvoří v kapalině disperzní fázi. Vzduchové bublinky se nasycují vodní parou a po výstupu z vrstvy procházejí absorpční silikagelovou kolonou. Vzduch, zbavený vlhkosti se nasává ventilátorem a vede znova do sušicí komory. Zařízení má dvě paralelně zapojené absorpční kolony; ihned po nasycení se komora regeneruje ohřátým vzduchem z pomocného okruhu, zatímco druhá kolona vysouší sušicí prostředí.

V zařízení lze měnit některé parametry procesu a ovlivňovat tak strukturu usušeného produktu. Mění se druh a celkový přetlak sušicího prostředí, průměry póru membrány; náplň komory je možno i mechanicky promíchávat. Rychlosť proudění vzduchu se pohybuje od 0,2 do 3 m/s (vztaženo na volný průřez komory), výška vrstvy dosahuje 10—100 mm a doba sušení bývá v závislosti na vlastnostech produktu 3—8 hodin. Tento způsob sušení se osvědčil při vysoušení mléka, vaječných žloutků a bílků, ovocných šťáv, kávy a čaje jako metoda velmi šetrná.

(Tm)

● Vzrůstající zájem o protihluková opatření v Tokiu

Jedenáctimilionové Tokio by nechtělo být velkoměstem s velkým hlukem. Uvědomováním obyvatelstva se hledají všechny možnosti odstranit zbytečný hluk. Např. u vchodu do stanice metra Nishi-Ginza jsou na tabuli udávány hladiny hluku. V obytných čtvrtích nemá hladina hluku překročit 50 dB(A), v ostatních čtvrtích 70 dB(A). Signální zařízení registruje průběžně skutečnou hladinu hluku (UNESCO — KURIER).

(Ra)

PRACOVNĚ HYGIENICKÉ ZKUŠENOSTI A ZÁKLADNÍ POŽADAVKY NA BEZOKENNÍ PRŮMYSLOVÉ STAVBY*)

PROF. DR. MED. HABIL. A. BRANDT

WTZ für Arbeitshygiene und Sicherheitstechnik in der chemischen Industrie, Leipzig—NDR

V článku jsou uvedeny výhody a nevýhody bezokenních budov z hlediska technického a pracovně-hygienického a jsou formulovány hygienické požadavky pro výstavbu této budovy. Byl proveden průzkum a sledování nemocnosti ve dvou administrativních a výrobních budovách, a to bez oken a s denním osvětlením. Výsledky jsou v práci diskutovány.

Recenzoval: Doc. Ing. Dr. Ladislav Oppl, CSc.

Bezokenní průmyslové stavby jsou technický, ekonomický, národní hospodářský a pracovně hygienický problém, v němž mají psychologické faktory obzvláštní význam. Máme-li k bezokenním stavbám zaujmout jednoznačné stanovisko z hlediska hygieny práce, je nutno brát zřetel na zásady pracovní hygieny a důsledky z nich vyplývající. Přitom musíme vycházet z definice hygieny práce. V socialistickém státě rozumíme pod pojmem hygiena práce nauku, resp. vědu, o optimalizaci pracovních podmínek ze zdravotního hlediska s cílem uchovat a zvýšit zdraví a výkonnost pracujícího člověka při současném maximálním užitku pro jedince i pro společnost.

Optimalizace pracovních podmínek ze zdravotního hlediska je tedy základním požadavkem hygieny práce. V kapitalistickém státě stojí v popředí výroba, které se hygienické uspořádání pracovních podmínek má podřídit nebo se uplatňuje jako sociální průvodní zjev výroby jen v omezené míře nebo dokonce jen jako okrajový požadavek.

V socialistickém státě tvoří pohoda pracovního prostředí a výroba jeden celek. Proto tu nelze ani hygienu práce, ani průmyslovou výrobu provozovat odděleně. Je také třeba přihlížet „k užitku jedince i společnosti“, neboť jen za tohoto předpokladu platí pojem „optimalizace“. Optimalizace je míněna jako maximálně možné řešení za daných podmínek a nelze ji tedy považovat za provždy danou, poněvadž se vyvíjí s pokrokem techniky. Touto skutečností jsou také dány obtíže a protichůdné názory na bezokenní průmyslové stavby z hlediska hygieny práce. Zásadně se dosud požadovalo, aby pro pracoviště byly v dostatečné míře k dispozici světlo, slunce a prostor. Z tohoto plyne, že pracoviště bez osvětlení denním světlem nebo pod zemí z hlediska pracovní hygieny nebyla přípustná nebo byla povolována jen na zvláštní povolení za určitých podmínek. Tímto směrem řešil se dříve požadavek optimálního

*) Předneseno na konferenci o technice prostředí v bezokenních budovách ve Špindlerově Mlýně v říjnu 1967

vybavení z hlediska pracovní hygieny. Dnes oproti tomu technika a ekonomie stavbu bezokenních hal požaduje. Nutno tedy k tomu zaujmout zásadní stanovisko hygieny práce. Ve smyslu definice hygieny práce v socialistickém státě byly také z hlediska pracovní hygieny schváleny všechny projekty, při nichž bylo z hlediska techniky bezokenní uspořádání požadováno jako nezbytně nutné k docílení nebo zvýšení společenského užitku. Aby se v zájmu výroby dosáhlo stálé teploty, klimatu a osvětlení, byla nejen nová bezokenní pracoviště zřizována, nýbrž i dosavadní pracoviště s denním osvětlením přebudována na prostory bezokenní. Tím se dosáhlo první etapy výstavby bezokenních staveb.

Byly povolovány, když to vyžadovaly technické potřeby výroby. Se zřetelem na to byly také v některých státech (např. v ČSSR) vydány zákonné předpisy, aby byly splněny potřebné pracovně hygienické podmínky v bezokenném prostoru, povoleném zásadně pro určitou výrobu.

Druhá etapa bezokenních staveb se vyvíjela na základě požadavků stavbařů. Ti poukazovali na údajně technicky i ekonomicky výhodnější způsob stavby bezokenních průmyslových hal a vyžadovali jej zásadně. Tyto snahy byly zvláště v NDR velmi silné a vedly k vydání směrnic ministerstva zdravotnictví. Tyto směrnice nevyžadují technickou nutnost jako předpoklad, nýbrž povolují bezokenní stavby zásadně, pokud jsou splněny určité pracovně hygienické podmínky. Přitom jsou důležitá dvě hlediska:

1. Údajně ekonomicky výhodnější řešení.
2. Rozvoj výroby při uplatnění technické revoluce, a to obzvláště se zřetelem k automatizaci a regulaci, vyžadující udržování stálého klimatu na pracovištích.

Tím by se ve druhé etapě v zásadě připouštěly bezokenní stavby, pokud jsou splněny určité podmínky.

Je-li první etapa více méně poskytováním výjimky, je etapa druhá většího a obecnějšího významu a připouští bezokenní stavby zásadně. Je proto třeba ujasnit tento problém z hlediska pracovní hygieny. Nutno precizovat výhody a nevýhody a vyvodit pracovně hygienické závěry.

A. Výhody bezokenních staveb

1. Z technického hlediska

- výstavba je rychlejší a údajně levnější,
- umožňuje prostorově členitější tvarování,
- lepší dopravní možnosti,
- funkčně dokonalejší průběh výrobního procesu v taktových a pasových linkách,
- větší pružnost při výměně strojů nebo změně výroby,
- větší variabilita výroby,
- lepší ústřední a obvodové zásobování energií a pomocnými látkami,
- stálé mikroklima a osvětlení z hlediska výrobně technických potřeb.

2. Z hlediska hygieny práce

- stálá teplota, vlhkost a rovnoměrné mikroklima,
- stálé osvětlení, obzvláště při dvou a třísměnném provozu,
- z hlediska úrazovosti výhodnější uspořádání s většími prostorami a lepšími dopravními možnostmi.

B. Nevýhody

1. Technické povahy

- nutnost oddělení zdrojů škodlivin nebo specifických provozů, kanceláří mistrů apod.,
- nutnost zvýšené požární ochrany pro celý provoz,
- vyšší provozní náklady při jednosměnném provozu,
- sporné nižší provozní náklady při dvousměnném provozu,
- vyšší provozní náklady pro nepřetržitý provoz a údržbu větracích a osvětlovacích zařízení.

2 Z hlediska hygieny práce

- možnost působení jednotlivých zdrojů škodlivin na veškeré osazenstvo velkých prostorů,
- odloučení od vnějšího prostředí a denního rytmu,
- dodatečné úpravy pro klimatizaci a osvětlení.

Z hlediska hygieny práce vyplývají z toho tyto závěry:

a) se zřetelem na prostory staveb

1. Prostory bezokenních staveb musí být tak veliké, aby nemohl vzniknout pocit prostředí kobky; nutno proto stanovit určité minimální rozměry.
2. Velkoprostorovost nesmí být rušena příliš mnoha masivními vestavbami a odděleními.
3. Není-li to možno, je nutno uspořádat okna a výhledy do velkoprostorové haly, aby v těchto malých prostorách nevznikalo prostředí kobek.

b) se zřetelem na zdravotní ochranu pracovního prostředí

1. Všechny škodliviny vznikající na pracovištích nebo v prostoru působí ve velkoprostorové průmyslové hale na všechny pracující. To platí pro všechny škodliviny, tedy plyny, páry, prachy, hluk atd. Nutno také zvlášť dbát na ochranu proti požáru a výbuchu, vybudování únikových cest a jejich viditelnost při selhání osvětlení. Z toho vyplývají pro tyto případy zvláštní opatření pro záchrannou službu a havárie. Pro určité výroby se zvýšeným nebezpečím požáru a výbuchu je proto bezokenní způsob stavby zásadně nepřípustný.
2. Totéž platí pro horké provozy, v nichž nelze v létě tepelnou zátěž dostatečně odstranit.
3. Při výrobách s intenzivním zápachem třeba bezokenní stavbu jako nevhodnou rovněž odmítнout, poněvadž pachy nelze pro jejich silné zředění ve vzduchu pracoviště odsáváním odstranit.
4. Všechny zdroje škodlivin je nutno vhodnými opatřeními odstranit nebo technicky omezit tak, aby byly bezpodmínečně dodrženy hodnoty nejvyšších přípustných koncentrací pro bezokenní stavby. V tomto ohledu není rozdíl mezi stavbami s denním osvětlením a bezokenními stavbami. Totéž platí pro dodržování předpisů o osvětlování. U bezokenních budov je nutno postupovat zvlášť tvrdě a nesmí se připouštět výjimky. Podrobnostmi se zde nelze zabývat. Splní-li se tyto podmínky, pak nelze z hlediska hygieny práce mít zásadní námitky, vytváří-li se pracovní prostředí optimálně podle nejmodernějších standardů v oblasti osvětlení, větrání a odsávání, klimatizace, prostorové i barevné úpravy. Technicky je to dnes dobré možné. Námitky z hlediska hygieny práce se proto, splní-li se uvedené podmínky, jeví jako neopodstatněné.

Rozhodující je však nakonec pracující člověk, který v těchto prostorách musí pracovat dny, týdny a léta. K zodpovědnému rozhodnutí je proto třeba zkoumat výsledky šetření, dotazníkových akcí a vyjádření pracujících. Takové šetření bylo provedeno na naší experimentální stavbě. Tato stavba zahrnuje více velkých bezokenních výrobních hal. Mimo to je v kompaktní stavbě samé umístěno také ředitelství, a to ve velkém počtu menších bezokenních místností. Můj spolupracovník dr. Scholl roztrídil proto šetření do 4 skupin:

1. Administrativní pracovníci v bezokenní kompaktní budově.
2. Administrativní pracovníci v budově s denním světlem.
3. Pracovníci ve výrobě v bezokenní budově kompaktní.
4. Pracovníci ve výrobě v běžné budově s denním světlem.

Výsledky šetření

Z uplatňovaných stížností vyplynulo, že u ženských produktivních sil nebyl téměř rozdíl mezi skupinou bez oken a s okenním osvětlením. Stavbu bez oken odmítalo 28 % a kladně hodnotilo 62 % produktivních pracovnic. U ženských administrativních sil jsou hodnoty podstatně nepríznivější. Pracovnice si stěžují zvláště na silné bolesti hlavy, vyslovenou únavu a závratě. Proto odmítá z nich bezokenní stavbu 54 % a jen 27 % ji doporučuje. Přitom je důvod ve vyslovené kobkovém prostředí kancelářských místností, které jsou malé. U mužských administrativních zaměstnanců se projevují stejné stížnosti ještě ve větší míře. Mužští administrativní pracovníci odmítají z 64 %, kdežto produktivní pracující pouze ze 14 %. Pro stejné skupiny byla zpracována nemocnost. Přitom se ukázalo, že u administrativních pracovníků se opět projevuje značný rozdíl mezi oběma skupinami. Nemocnost je v bezokenní stavbě vyšší (1965: 4,6 %, 1966: 4,9 %) než v budově s denním světlem (1965: 2,3 %, 1966: 2,4 %). Podstatně nižší je rozdíl obou skupin u produktivních pracovníků, ale i zde je nemocnost v bezokenní stavbě obecně o něco vyšší.

To platí také při rozdělení podle věkových skupin. Nutno zdůraznit, že nemocnost je obecně u administrativních zaměstnanců nižší než u produktivních

dělníků. Rozdíly mezi bezokenním oddělením a oddělením s denním světlem jsou však u administrativních pracovníků podstatně větší.

Posuzujeme-li nemocnost podle různých nemocí, ukazuje se toto: Rozdíl mezi odděleními s denním osvětlením a bez oken se jeví zvláště u chřipky a nachlazení, mimo to v menší míře u onemocnění nervových. Přitom jsou vždy na tom hůře pracující v budovách bez oken. To platí i pro velkou skupinu „ostatní onemocnění“. Ostatní jednotlivě udávané nemoci nevykazují význačné rozdíly ani jednoznačné znevýhodnění pracovníků v bezokenních odděleních. Ačkoliv si toto šetření nedělá nárok na obecnou platnost, ukazuje se přece jednoznačně, že nemocnost je v bezokenních stavbách vyšší a z nich pak v těch, které mají vysloveně prostředí kobky, tedy v kancelářských místnostech. Tím lze tedy mít za prokázáno, že pracující člověk je v bezokenních pracovištích vystaven zvláštním podmínkám. Účinky se projevují v častých stížnostech, podobá-li se jako u administrativních pracovníků, prostor bez oken kobce. Ale také u produktivních pracujících, u nichž stížnosti v bezokenních prostorách nejsou naléhavější než v prostorách s denním osvětlením, je ne-

mocnost přece jen o něco vyšší, zdaleka však ne o tolik, jako u administrativních pracovníků. Nutno tedy konstatovat, že v bezokenních velkoprostorových místnostech byly, pokud se týče nemocnosti, zjištěny o něco nepříznivější hodnoty než na běžných pracovištích s denním osvětlením.

Oproti tomu byla nemocnost zaměstnanců v malých bezokenních správních místnostech s vysloveným prostředím kobky větraných a osvětlených stejným způsobem jako běžné kanceláře s denním osvětlením podstatně výšší. Nejde tedy v tomto případě ani tak o skutečnou výši křivek nemocnosti, jako spíše o rozdíl úrovně nemocnosti pracujících v budovách bez oken a s denním osvětlením vždy zvlášť pro skupinu pracujících a administrativních zaměstnanců. Tento rozdíl jasné existuje, a to v neprospěch administrativních zaměstnanců. Hledáme-li objektivní příčiny vyšší nemocnosti skupiny „bez oken“ oproti skupině „s denním osvětlením“ u administrativních zaměstnanců, shledáváme, že pracovní podmínky jsou až na druh práce stejné jako u výrobních pracovníků. Jediný rozdíl spočívá v prostorovém omezení, které se u administrativních pracovníků silněji projevuje než u manuálních pracovníků ve velkoprostorových halách. V našem případě lze ještě poukázat na to, že administrativní zaměstnanci umístění v bezokenních kancelářích pracovali před přemístěním do novostavby v nevyhovujících baráčích, takže přijali se zadostiučiněním, že z nich byli přestěhováni do moderně zařízených kanceláří. Nešlo tedy o předpojatost. Tím vážněji se nyní musí hodnotit jejich posudek, který vyzněl u žen 54 %, u mužů 64 % v neprospěch bezokenní stavby a objektivně se projevil ve zvýšené nemocnosti. Přitom zůstává otevřena otázka, zda pocit prostorového omezení snižoval odolnost proti nemoci nebo zda stoupající pocit nemoci zvyšoval odmítavý postoj k pracovišti bez oken. At se již tato otázka zodpoví jakkoliv, je jistlo, že v daném případě došlo v bezokenních kancelářích ke zvýšené nemocnosti.

U produktivních pracovníků je sice nemocnost v bezokenních prostorách o něco vyšší, avšak podstatně méně než u pracovníků administrativních. Bezokenní pracoviště odmítá zde 28 % žen (oproti 54 % u úředníků) a jen 14 % mužů (oproti 64 % u úředníků). To naznačuje i u produktivních pracovníků souvislost mezi zvýšenou nemocností a bezokenním pracovištěm, neboť i při kladnějším hodnocení produktivních pracovníků je nemocnost sice vyšší než v prostorách s denním světlem, ale podstatně méně než u pracovníků kancelářských.

Které nemoci vykazují největší rozdíl mezi pracovišti bez oken a s denním osvětlením? „Jsou to v prvé řadě chřipkové infekce a nachlazení, dále nemoci nervové a „ostatní onemocnění“. Zde mohly by tedy rovnoměrně temperované prostředí a snížená dráždivost přivodit snížení odolnosti. Potvrďí-li dodatečná šetření tyto nálezy, pak nutno problém zvýšení nemocnosti v bezokenních budovách v budoucnosti věnovat větší budoucnost. Tato šetření třeba zatím hodnotit jako jednotlivý případ a nutno je i co do porovnatelnosti ještě doplnit. V každém případě by výsledek měl dát popud k přemýšlení a dalším exaktním šetřením. Mají-li se nadále stavět bezokenní průmyslové stavby, je nutno v každém případě na základě obecných názorů a požadavků hygieny práce bezpodmínečně nejprve vytvořit zásadně optimální stav pracovních podmínek. Mimo to je nutno však také brát zřetel na uvedenou možnost zvýšené nemocnosti. Pak by bylo kromě vzorně optimálního pracovně-hygienického technického vybavení zapotřebí ještě lékařské profylaxe, a to:

1. Do bezokenních provozů je třeba zařazovat jen pracovníky, kteří nemají averzi proti prostorám bez oken.
2. Je třeba provádět zvláštní lékařskou profylaxi proti nemocem z nachlazení se zvláštním zaměřením na zvýšenou odolnost.

3. Nelze tu zaměstnávat lidí vegetativně a nervově labilní.
4. Rovněž lidi mající sklon k nemocem z nachlazení a záchvatům nelze v bezokenních provozech zaměstnávat.

Aby si lidé pracující v bezokenních průmyslových provozech uchovali zdraví a výkonnost, nutno vytvořit technické předpoklady hygieny práce a provádět lékařsko profylaktická opatření.

Za těchto podmínek lze i z hlediska hygieny práce souhlasit s trvalou prací v bezokenních průmyslových budovách.

Přeložil a upravil Ing. J. Haber

ОПЫТ В ОБЛАСТИ ТРУДОВОЙ ГИГИЕНЫ И ОСНОВНЫЕ ТРЕБОВАНИЯ К ПРОМЫШЛЕННЫМ СТРОЙКАМ БЕЗ ОКОН

Проф. Д-р. Мед. Наук А. Брандт, ГДР

В статье приводятся выгоды и невыгоды зданий без окон с точки зрения техники и трудовой гигиены и формулируются требований к строительству таких зданий. Были проведены исследования и наблюдения заболеваний в двух административных и производственных зданиях без окон и с дневным освещением. Результаты в статье обсуждаются.

ARBEITSHYGIENISCHE ERFAHRUNGEN UND GRUNDANFORDERUNGEN AN DIE FENSTERLOSEN INDUSTRIEGEBAUDE

Prof. Dr. med. habil. A. Brandt, DDR

Im vorgelegten Artikel werden die Vor- und Nachteile der fensterlosen Gebäude vom technischen und arbeitshygienischen Standpunkt besprochen und die hygienischen Anforderungen für die Errichtung dieser Gebäude festgelegt. Die Krankheitsanfälligkeit in zwei Verwaltungs- und Produktionsgebäuden, und zwar ohne Fenster und mit Tagesbeleuchtung wurde untersucht und verfolgt. Die Ergebnisse werden in dieser Abhandlung diskutiert.

WORKING HYGIENIC EXPERIENCES AND FUNDAMENTAL EXIGENCES ON INDUSTRIAL BUILDINGS WITHOUT WINDOWS

Prof. Dr. med. habil. A. Brandt, Germania Democrata Republic

In this paper [are mentioned] the advantages and the disadvantages of industrial buildings without windows from the technical and working hygienes point of view. The hygienic exigences for the construction of these buildings are formulated. A research was made and sickness was charted in two administrative and production buildings, without windows and with natural light. The results are discussed in this paper.

EXPÉRIENCES HYGIÉNIQUES DE TRAVAIL ET EXIGENCES ESSENTIELLES CONCERNANT LES CONSTRUCTIONS INDUSTRIELLES SANS FENÊTRES

Prof. Dr. med. habil. A. Brandt, République Allemande Démocratique

L'article présenté mentionne les avantages et les désavantages des bâtiments sans fenêtres du point de vue technique et hygiénique et on formule les exigences hygiéniques concernant l'édification de ces bâtiments. On a fait des recherches et des études sur les cas de maladie dans deux bâtiments, l'un d'administration et l'autre de production et ceci sans fenêtres et avec l'éclairage naturelle. Les résultats sont discutés dans cet article.

CHARAKTERISTIKA OHŘÍVAČŮ VZDUCHU

DR. ING. IVÁN FEKETE

Budapešť

V článku je popsána metodika konstrukce charakteristik výměníků tepla, používaných zejména ve vzduchotechnice. Z těchto charakteristik lze určit velmi snadno a s dostatečnou přesností tepelný výkon výměníků při libovolných poměrech. Lze jimi nahradit obvyklé tabulkové podklady.*)

Recenzoval: Doc. Ing. J. Chyský, CSc.

Výkon různých strojních zařízení (ventilátorů, čerpadel, chladicích zařízení apod.) nelze vyjádřit jediným číselným údajem, ale jedině pomocí výkonnostních křivek nebo křivkových souborů, tzv. charakteristik), neboť závisí na proměnných provozních podmínkách. Provozní stav, který na charakteristice v závislosti na provozních podmínkách vychází, nazýváme provozním bodem, vyplývajícím z rovnovážného stavu stroje a systému. U ventilátorů, čerpadel apod. je užívání charakteristik a určování jejich výkonu stanovením provozního bodu běžné. U ohřívačů vzduchu (kaloriferů), které jsou důležitou součástí vzduchotechnických zařízení není pojmenování charakteristiky dosud běžný, ačkoliv jejich výkon je rovněž funkcí provozních podmínek a lze jej pomocí provozního bodu zjistit. Důvod je patrně v tom, že výrobci ohřívačů vzduchu uvádějí jejich výkonnostní údaje v tabulkách nebo dávají k jejich výpočtu k dispozici zvláštní nomogramy. Z nich však charakteristiky ohřívačů nevyplývají, resp. provozní bod z nich nelze přímo vyčíst.

V dalším je popsáno stanovení charakteristiky ohřívačů vzduchu a určení provozního bodu pomocí těchto charakteristik.

1. OHŘÍVAČ VZDUCHU VYTÁPĚNÝ VODOU

Tyto ohřívače vzdachu pracují jako výměníky s příčným proudem. Provozní bod je dán rovnovážným stavem množství tepla procházejícího teplosměnnou plochou ohřívače, množství tepla odevzdávaného topnou vodou a množství tepla přijímaného vzdudem:

$$kF \Delta t_{mk} = W_l \cdot \Delta t_l = W_w \cdot \Delta t_w \quad (1)$$

Předpokládejme případ, kde $\Delta t_l > \Delta t_w$, tj. $W_l < W_w$. U křížového proudu lze střední rozdíl teplot vyjádřit takto:

$$\Delta t_{mg} = \varepsilon \Delta t_{mg} \quad (2)$$

Střední rozdíl teplot u protiproudou je za použití označení na obr. 1 dán vztahem:

$$\Delta t_{mg} = \frac{\Delta t_g - \Delta t_k}{\ln \frac{\Delta t_g}{\Delta t_k}} = \frac{1 - \frac{\Delta t_w}{\Delta t_l}}{\ln \frac{\vartheta_e - \Delta t_w}{\vartheta_e - \Delta t_l}} \cdot \Delta t_l \quad (3)$$

*) Způsobem, popisovaným v článku, byly konstruovány charakteristiky u nás vyráběných žebrových ohřívačů vzdachu, které byly publikovány jako přílohy č. 4 a 28 našeho časopisu.

Zavedeme dále jako bezrozměrný činitel stupeň ohřevu

$$\psi = \frac{\Delta t_l}{\vartheta_e} \quad (4)$$

udávající, v jaké míře se ohřev vzduchu blíží celkovému rozdílu počátečních teplot obou médií. Podle rovnice (1) platí, že

$$\frac{\Delta t_w}{\Delta t_l} = \frac{W_l}{W_w} \quad (5)$$

podle rovnice (4) pak je

$$\vartheta_e = \frac{\Delta t_l}{\psi} \quad (6)$$

Z toho plyne střední rozdíl teplot křížového proudu

$$\Delta t_{mk} = \epsilon \frac{1 - \frac{W_l}{W_w}}{\ln \frac{\frac{1}{\psi} - \frac{W_l}{W_w}}{\frac{1}{\psi} - 1}} \cdot \Delta t_l \quad (7)$$

Obr. 1.

Na základě rovnic (1) a (7) lze rovnováhu výměny tepla vyjádřit takto:

$$kF\epsilon \frac{\frac{1}{\psi} - \frac{W_l}{W_w}}{\ln \frac{\frac{1}{\psi} - \frac{W_l}{W_w}}{\frac{1}{\psi} - 1}} \cdot \Delta t_l = W_l \cdot \Delta t_l \quad (8)$$

Sledujme cíl vyjádřit stupeň ohřevu ψ charakterisující ohřev vzduchu. Úpravou (8) dostaneme:

$$\frac{\frac{1}{\psi} - \frac{W_l}{W_w}}{\ln \frac{\frac{1}{\psi} - \frac{W_l}{W_w}}{\frac{1}{\psi} - 1}} = e^{\epsilon \frac{kF}{W_l} \left(1 - \frac{W_l}{W_w}\right)} \quad (9)$$

Vyjádříme-li z tohoto vztahu ψ , obdržíme:

$$\psi = \frac{1 - e^{\epsilon \frac{kF}{W_l} \left(1 - \frac{W_l}{W_w}\right)}}{\frac{W_l}{W_w} - e^{\epsilon \frac{kF}{W_l} \left(1 - \frac{W_l}{W_w}\right)}} \quad (10)$$

Vyjdeme-li z předpokladu, že

$$\Delta t_l < \Delta t_w, \quad \text{tj.} \quad W_l > W_w,$$

zůstane výsledek nezměněn.

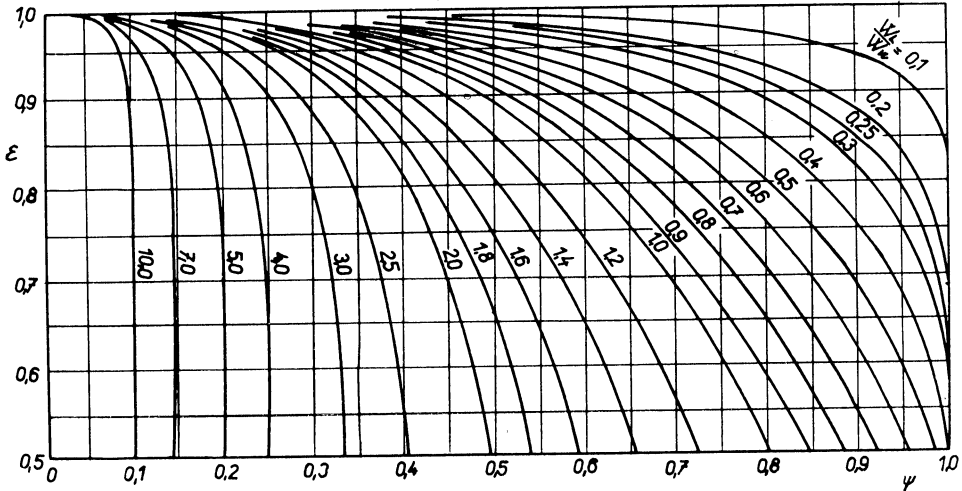
Symbolicky vyjádřený tvar rovnice (10) je:

$$\psi = f_1 \left(\varepsilon, \frac{kF}{W_l}, \frac{W_l}{W_w} \right) \quad (11)$$

Jak známo, je činitel ε , vyjadřující střední rozdíl teplot příčného proudu funkcií ψ a $\frac{W_l}{W_w}$:

$$\varepsilon = f_2 \left(\psi, \frac{W_l}{W_w} \right) \quad (12)$$

Tento vztah je graficky znázorněn v obr. 2.



Obr. 2.

Dosadíme-li hodnotu ε do rovnice (10), obdržíme

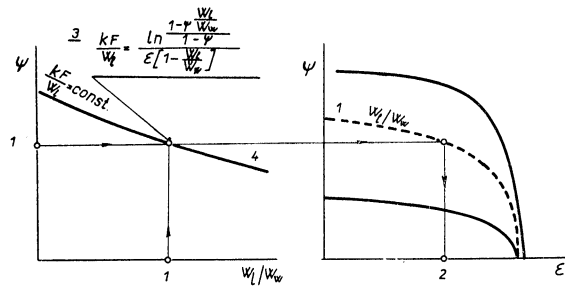
$$\psi = f_3 \left(\varepsilon, \frac{W_l}{W_w}, \frac{kF}{W_l} \right) \quad (13)$$

V rovnicích (10), resp. (13), je ψ implicitně obsaženo; stupeň ohřevu nelze vyjádřit matematicky, avšak závislost

$$\psi = f_4 \left(\frac{W_l}{W_w}, \frac{kF}{W_l} \right)$$

lze pomocí rovnice (10) a obr. 2 znázornit souborem křivek (obr. 3).

V levém diagramu tohoto obrázku je na ose úseček poměr $\frac{W_l}{W_w}$, na ose pořadnic součinitel ψ . V tomto diagramu je vyznačen soubor křivek $\frac{kF}{W_l} = \text{konst.}$ V pravém diagramu téhož obrázku je soubor křivek znázorněný v obr. 2 otočen tak, že ε je na ose úseček, ψ na ose pořadnic.



Obr. 3.

Pomocí této dvojice diagramů probíhá konstrukce křivek $\frac{kF}{W_l} = \text{konst.}$ takto:

1. Zvolíme libovolnou hodnotu ψ a $\frac{W_l}{W_w}$.
2. Z pravého diagramu odečteme hodnotu ε , odpovídající zvolené dvojici hodnot.
3. Pro tyto hodnoty ψ , $\frac{W_l}{W_w}$ a ε vypočteme z rovnice (10) hodnotu $\frac{kF}{W_l}$:

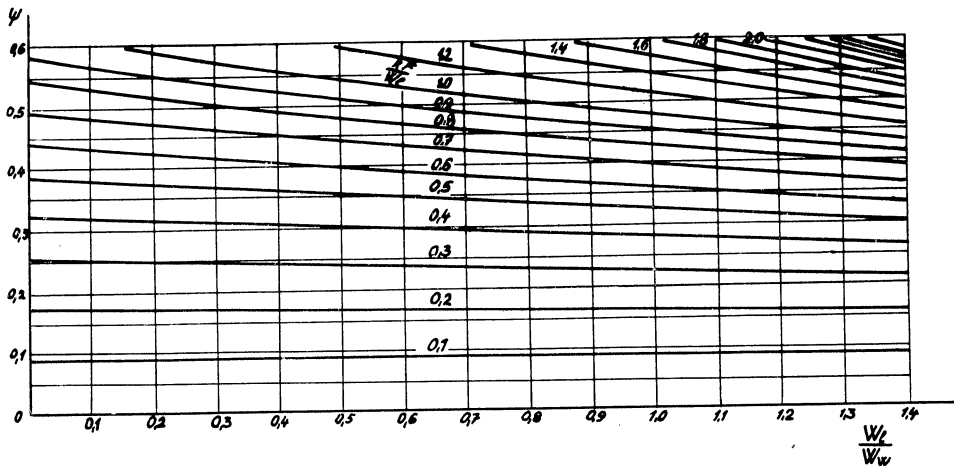
$$\frac{kF}{W_l} = \frac{\ln \frac{1 - \psi}{1 - \frac{W_l}{W_w}}}{\varepsilon \left(1 - \frac{W_l}{W_w} \right)} \quad (14)$$

4. V levém diagramu se takto vypočtená hodnota $\frac{kF}{W_l}$ přiřadí zvoleným hodnotám ψ a $\frac{W_l}{W_w}$.

5. Opakováním postupu ad 1. až ad 4. obdržíme řadu bodů hodnoty $\frac{kF}{W_l}$. Spojením bodů stejných hodnot obdržíme soubor křivek $\frac{kF}{W_l} = \text{konst.}$ Takto získaný soubor křivek, znázorňující vztah

$$\psi = f_4 \left(\frac{W_l}{W_w}, \frac{kF}{W_l} \right)$$

je znázorněn v obr. 4.



Obr. 4.

Pro daný typ ohřívače vzduchu lze jeho charakteristiku pomocí obr. 4 určit tímto způsobem:

Poměr vodních hodnot vzduchu a vody je:

$$\frac{W_l}{W_w} = \frac{c_p L}{c_w \cdot G} = 0,24 \frac{f_l}{f_w} \cdot \frac{(w\varrho)_l}{(w\varrho)_w} \quad (15)$$

K vyjádření hodnoty $\frac{kF}{W_l}$ je nutno znát součinitele prostupu tepla k . Ten se stanoví pokusně jako střední hodnota měření většího počtu sériově vyrobených ohřívačů. Výsledky měření se zpravidla vyhodnocují ve tvaru:

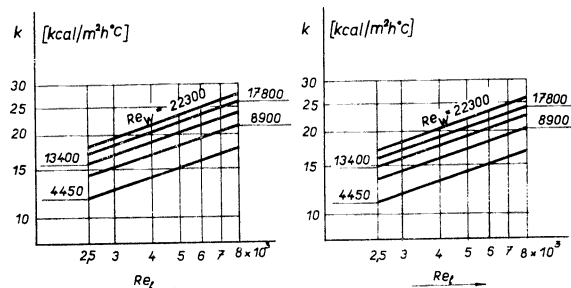
$$k = f(\text{Re}_w, \text{Re}_l) \quad (16)$$

Tato závislost je pro určity typ ohřívače znázorněna v obr. 5. Hodnoty k lze též vyjádřit ve tvaru

$$k = C(w\varrho)_l^n \cdot (w\varrho)_w^m \quad (17)$$

(viz též obr. 6). Tím nabude

$$\text{parametr } \frac{kF}{W_l} \text{ tvaru}$$



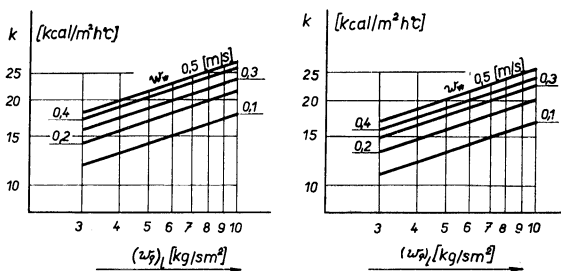
Obr. 5.

$$\frac{kF}{W_l} = \frac{C(w\varrho)_l^n \cdot (w\varrho)_w^m \cdot F}{3600 \cdot c_p (w\varrho)_e \cdot f_l} = \frac{C}{864} \cdot \frac{F}{f_l} \cdot (w\varrho)_w^m (w\varrho)_l^{n-1} \quad (18)$$

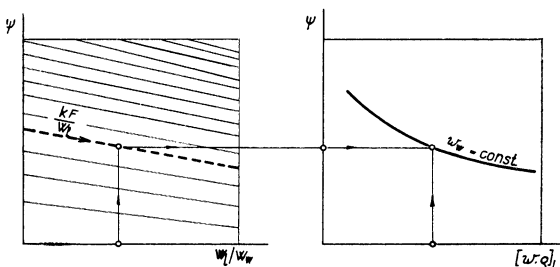
Jak je patrné ze vztahů (15) a (18), jsou hodnoty $\frac{W_l}{W_w}$ a $\frac{kF}{W_l}$ pro určity typ ohřívače vzduchu jedině funkcí $(w\varrho)_l$ a $(w\varrho)_w$.

Charakteristika ohříváče se tedy stanoví takto (obr. 7):

Ze vztahů (15) a (18) vypočteme číselné hodnoty $\frac{W_l}{W_w}$ a $\frac{kF}{W_l}$ pro různé hodnoty $(w\varrho)_l$, při stálém $(w\varrho)_w$. Součinitele ψ , odpovídajícího této dvojici hodnot, odečteme z obr. 4. Takto získané hodnoty $(w\varrho)_l$ a ψ naneseme do diagramu, čímž vznikne křivka pro $(w\varrho)_w = \text{konst}$. Pro různé hodnoty $(w\varrho)_w$ obdržíme soubor charakteristik v obr. 8.



Obr. 6.



Obr. 7.

Z hodnot L , G a ψ odečtených pro libovolný provozní bod lze φ snadno stanovit.

Z charakteristik je názorně patrnou, jak se zvýšení teploty vzduchu protékajícího ohříváčem mění s průtočným množstvím vzduchu L , vody G a s počtem řad.

Soubor charakteristik lze pro volbu, resp. kontrolu ohříváče použít takto:

1. Jsou dány průtočná množství vzduchu L a počáteční teploty vzduchu a vody (a tím i ϑ_e); máme určit ohříváč, který zvýší teplotu vzduchu o Δt_l .

Rешение: Bude vyhovovat ohříváč, daný charakteristikou, na které leží průsečík množství vzduchu L a hodnoty $\psi = \frac{\Delta t_l}{\vartheta_e}$ (obr. 9). Je-li dále ještě předepsán pokles teploty topné vody, je nutno volit ohříváč, v jehož charakteristice dříve uvedený provozní bod leží na křivce s parametrem $G = 0,24L \frac{\psi}{\varphi}$. Není-li pokles teploty topné vody předepsán, lze jej vypočítat z rovnice (20) dosazením parametrů provozního bodu. Potrubí topné vody je nutno dimenzovat tak, aby dodalo průtočné množství vody G , vyplývající z charakteristiky.

U křivek jsou kromě hodnoty $(w\varrho)_w$ uvedeny také hodnoty pro množství vody G . Provedeme-li tuto konstrukci s použitím součinitelů prostupu tepla k pro různé počty řad, obdržíme charakteristiku ohříváče. Diagram lze doplnit stupnicemi pro množství vzduchu a odpory ohříváče na straně vzduchu.

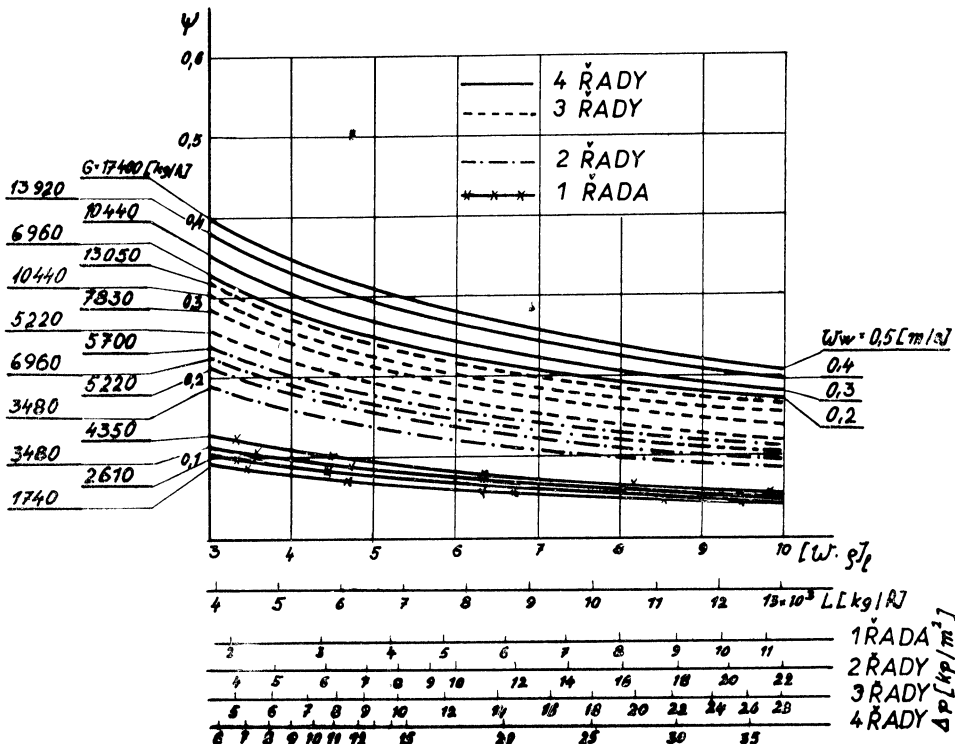
Ochlazení topné vody v libovolném provozním bodě se snadno vypočte. Označíme-li φ ochlazení vody v poměru k počátečnímu rozdílu teplot ϑ_e , pak platí:

$$\varphi = \frac{\Delta t_w}{\vartheta_e} \quad (19)$$

Pak je podle vztahů (1), (4), (15) a (19):

$$\varphi = \frac{W_l}{W_w} \cdot \psi = 0,24 \frac{L}{G} \cdot \psi \quad (20)$$

Zde je třeba poukázat na chybu, které se projektanti často dopouštějí. Katalogy výrobců obvykle neuvádějí rychlosť proudění topné vody. Ochlazení topné vody volivá projektant pro zvolený ohříváč často libovolně. Volba vysokého ochlazení Δt_w

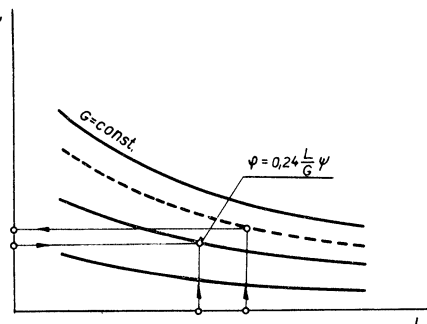


Obr. 8.

může způsobit tak malý průtok vody, resp. tak malou rychlosť vody, že v trubkách ohříváče dochází k laminárnímu proudění, při kterém ohříváč nepředá požadované množství tepla. Aby se tomu zabránilo, je účelné zpracovat charakteristiky jen pro ten rozsah rychlosť vody, v němž je ještě zajistěno její turbulentní proudění.

Poněvadž při volbě ohříváče vzduchu může mít jeho odpor na straně vzduchu rozhodující význam, je souběžně s osou souřadnic zakreslena i stupnice Δp k odečtení odporu ohříváče v libovolném provozním bodě.

2. Daným ohříváčem vzduchu proudí dané množství vzduchu, resp. vody, o daných vstupních teplotách. Máme stanovit konečnou teplotu obou médií.



Obr. 9.

Řešení: (obr. 9). Hodnota ψ a tím i Δt_l vyplýne v charakteristice ohřívače z průsečku množství vzduchu L a průtočného množství vody G . Známe-li pak L , G a ψ , vypočteme φ a tím i Δt_w .

Navrženou soustavou křivek nelze přirozeně vyjádřit vliv hrubých výrobních chyb, např. deformace lamel, nedostatečné odvzdušnění apod.

2. OHŘÍVAČ VZDUCHU VYTÁPĚNÝ PAROU

Charakteristiky pro ohřívače vzduchu vytápěné parou lze stanovit daleko jednodušeji, neboť ohřívač lze považovat za protiproudý a vodní hodnotu páry za nekonečně velikou. Proto vyplýne charakteristika ohřívače vytápěného parou z rovnice

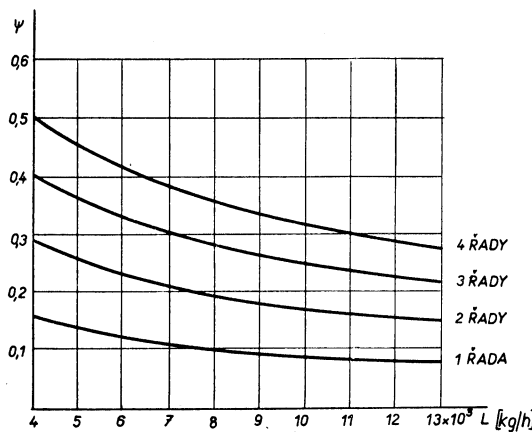
$$(10) \text{ dosazením } \varepsilon = 1 \text{ a } \frac{W_l}{W_w} = 0.$$

$$\psi = \frac{e^{\frac{kF}{W_l}} - 1}{e^{\frac{kF}{W_l}}} \quad (21)$$

Vyjádříme-li $\frac{kF}{W_l}$ pomocí součinitele prostupu tepla k a vodní hodnoty vzduchu, obdržíme

$$\frac{kF}{W_l} = \frac{C(w\varrho)_l^n \cdot F}{3600c_p(w\varrho)_l \cdot f_l} = \frac{C}{864} \cdot \frac{F}{f_l} (w\varrho)_l^{n-1} \quad (22)$$

Označíme-li součin $\frac{C}{864} \cdot \frac{F}{f_l}$ pro jednu řadu trubek A , pro dvě řady trubek B , přejdou rovnice pro jednu resp. 2 řady trubek do tvaru:



Obr. 10.

$$\psi_{1r} = \frac{e^{A(w\varrho)_l^{n-1}} - 1}{e^{A(w\varrho)_l^{n-1}}} \quad (23)$$

resp.

$$\psi_{2r} = \frac{e^{B(w\varrho)_l^{n-1}} - 1}{e^{B(w\varrho)_l^{n-1}}} \quad (24)$$

Z rovnic (23) a (24) lze stanovit charakteristiky pro různé počty řad trubek. Charakteristiky uvažovaného ohřívače vytápěného parou jsou znázorneny v obr. 10.

Seznam označení

k	[kcal/m ² h deg]	— součinitel prostupu tepla vztažený na vnější stranu teplosměnné plochy,
F	[m ²]	— vnější teplosměnná plocha ohřívače,
Δt_{mk}	[°C]	— střední logaritmický rozdíl teplot vzduchu a topné vody při křížovém proudu,
W_t	[kcal/h deg]	— vodní hodnota protékajícího vzduchu,
W_w	[kcal/h deg]	— vodní hodnota protékající vody,
Δt_t	[°C]	— zvýšení teploty vzduchu,
Δt_w	[°C]	— snížení teploty vody,
ε	[bezdim.]	— součinitel vyjadřující účinek křížového proudu,
Δt_{mg}	[°C]	— střední logaritmický rozdíl teplot vzduchu a topné vody při protiproudu,
Δt_g	[°C]	— maximální rozdíl teplot mezi topnou vodou a vzduchem,
Δt_k	[°C]	— minimální rozdíl teplot mezi topnou vodou a vzduchem,
ϑ_e	[°C]	— rozdíl počátečních teplot vody a vzduchu,
ψ	[bezdim.]	— ohřev vzduchu vztažený na rozdíl ϑ_e ,
c_p	[kcal/kg deg]	— měrné тепло vzduchu při stálém tlaku,
c_w	[kcal/kg deg]	— měrné тепло vody,
L	[kg/h]	— množství vzduchu protékajícího ohřívačem,
G	[kg/h]	— množství vody protékající ohřívačem,
f_t	[m ²]	— volný průtočný průřez ohřívače,
f_w	[m ²]	— celkový průřez vodních trubek ohřívače,
Re_w	[bezdim.]	— Re číslo topné vody,
Re_i	[bezdim.]	— Re číslo vzduchu,
C, n, m		— konstrukční konstanty,
$(W\varrho)_t$	[kg/s m ²]	— hmotová rychlosť vzduchu,
$(W\varrho)_w$	[kg/s m ²]	— hmotová rychlosť topné vody,
φ	[bezdim.]	— snížení teploty topné vody vztažené na rozdíl teplot:

Přeložil a upravil: Ing. J. Haber

CHARACTERISTIC OF AIR HEATERS

Dr. Iván Fekete

The paper describes the method of the construction of characteristics of heat exchangers used especially in the air technique. Based on these characteristics it is very easy to determine with a satisfactory accuracy the exchangers thermic output in any conditions. They can be used to replace the usual tabular data.

CARACTÉRIQUE DES APPAREILS A CHAUFFER L'AIR

Dr. Iván Fekete

L'article présenté décrit la méthodique de la construction des caractéristiques des échangeurs de chaleur, utilisés surtout dans la technique d'air. Partant de ces caractéristiques il est très facile de déterminer et avec une précision suffisante le rendement thermique des échangeurs à des conditions quelconques. On peut s'en servir pour remplacer des données tabulaires usuelles.

ХАРАКТЕРИСТИКА ВОЗДУХОПОДОГРЕВАТЕЛЯ

Д-р. Иван Фекете

В статье описывается метод конструкции характеристик теплообменников, применяемых, в особенности, во воздухотехнике. По этим характеристикам можно очень легко определить и с дополнительной точностью теплопроизводительность обменников при любых условиях. Ими можно заменить обычные табличные материалы.

CHARAKTERISTIK DER LUFTERHITZER

Dr. Iván Fekete

Im vorliegenden Artikel wird die Methodik der Konstruktion zur Erreichung einer geeigneten Charakteristik der vorwiegend in der Lufttechnik verwendeten Wärmeaustauscher beschrieben. Aus diesen Charakteristiken kann sehr einfach und mit genügender Genauigkeit die Wärmeleistung der Austauscher für beliebige Verhältnisse bestimmt werden. Sie sind ein guter Ersatz für die üblichen Tabellenangaben.

● Vliv akustických vibrací na průběh konvekčního sušení

(Inž.-fiz. žurnal č. 4, 1967).

V moskevském Výzkumném ústavě nových stavebních hmot byly provedeny zkoušky se sušením keramických desek o průměru 120 mm a výšce 20 mm, mající počáteční vlhkost 0,34 kg/kg. Desky byly vysoušeny v teplovzdušné sušárně při teplotách 20,70 a 140 °C a konstantním množství sušicího vzduchu. Ohřátý vzduch přichází do komory přímo (konvekční sušení) nebo prochází rezonátorem a vytváří kmity o hladině 160 dB (kombinované sušení). Srovnáním křivek konvekčního a kombinovaného sušení bylo zjištěno, že se zvukovými kmity zrychlují sušení při teplotě 20 °C 2,5krát, při teplotě 70 °C 2,2krát a při maximální teplotě 140 °C pouze 1,4krát. Tyto hodnoty jsou vztaženy na úsek stálé rychlosti sušení v rozmezí měrných vlhkostí 0,34—0,24 kg/kg. (Tm)

● Průmysl vytápění a větrání v NSR v roce 1966

Situace v odbytu otopných a větracích zařízení byla v r. 1966 v NSR ještě příznivá. Kolem 800 firem, sdružených v hospodářském svazu, dosáhlo obratu 1,7 mld. DM, což je přibližně o 4,5 % více než v r. 1965.

Firmy vyrábějící otopná a větrací zařízení jsou tak úzce spojeny se stavebnictvím, že se u nich odráží přímo rozvoj tohoto odvětví. V r. 1966 bylo postaveno 605 000 bytových jednotek, což znamená přírůstek 13 000, tedy asi 2,5 %. Přírůstek výstavby v občanské a průmyslové výstavbě byl vyšší, a to 12 %. K příznivým výsledkům výrobci přispěla i asanace starých domů.

Rok 1966 označuje mnohé firmy jako stagnující ve vývoji cen. Rozdílný se jeví ve výhledu r. 1967. V r. 1966 bylo asi 70 % všech nových bytů vybaveno ústředním vytápěním.

U ústředního vytápění byl v r. 1966 na postupu olej a plyn. 74,4 % vystavěných vytápěcích zařízení bylo vytápěno olejem, 12,2 % plynem. V této souvislosti klesl podíl

zařízení vytápěných uhlím na 12,6 %. Zbytek zařízení jsou akumulační na noční elektrický proud (Klimatechnik 7/67).

(Je)

● Mezinárodní boj proti hluku

Červencové číslo 1967 časopisu „Kurier“ organizace UNESCO je zcela věnováno boji proti hluku, čímž bylo v osmi jazycích po celém světě zahájeno tažení proti nadměrnému hluku (Gegen den Lärm).

(Ra)

● Obyvatelé New Yorku podporují omezení zdrojů hluku

Účastníci první konference Noise Control v New York University se usnesli v březnu 1967 na rezoluci, v níž vyžadují zákaz nadměrného hluku v denní i roční době, v domácnostech, v dopravě, při práci a při hře. Delegáti vyžadovali urychlené provedení proti-hlukových opatření u helikoptér a letadel, autobusů, nákladních vozů, podzemní dráhy a stavebních strojů (The Villager).

(Ra)

● Méně hluku na staveništích

Ve Vestfálsku stouplo počet protihlukových úprav a opatření ze 7 000 v r. 1963 na 12 000 v r. 1965. Opatření se týkají prevážně stavebních strojů na staveništích (VDI — Nachrichten).

(Ra)

● Boj proti hluku letadel v Hamburku

Aby se snížilo obtěžování hlukem obyvatel bydlících blízko letišť v Hamburku, byla správa letišť vybavena dvěma dálkovými kamerami Philips. Na monitorech je vyznačen úhel stoupání letadla. Při záběru startujícího nebo přistávajícího letadla lze okamžitě stanovit, zda pilot dodržel předepsané podmínky. V případě, že nebyly dodrženy, je smímek okamžitě vyvolán a předložen pilotovi (Arbeitskammer des Saarlandes).

(Ra)

ROZHLEDY

KONTAKTNÍ SUŠÁRNA SYPKÝCH MATERIÁLŮ

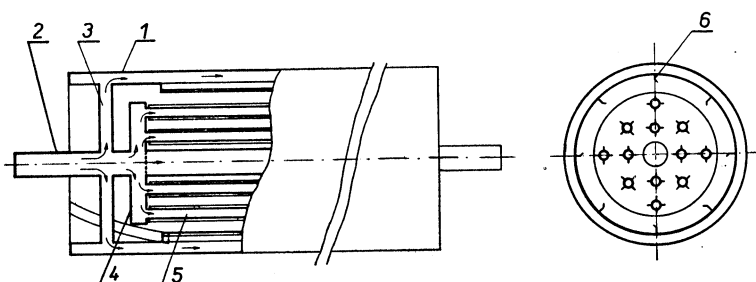
Na výstavě zařízení pro chemický průmysl, Achema 1967, vystavovala firma Büttner-Werke AG, Klefeld-Uerdingen nový typ kontaktní kontinuální sušárny materiálů, které jsou sypké v celém oboru vlhkosti. Schéma zařízení je uvedeno na obr. 1.

Sušárnou tvoří buben 1, opatřený topným pláštěm. Topné médium se přivádí do pláště dutým čepem hřídele 2 a nosnými rameny 3. Hřídel pak nese trubkovnice 4, do níž jsou zaústěny trubky 5. Tyto trubky mají na svém povrchu přivářena přímá nepřerušovaná zebra, zvěšující povrch pro sdílení tepla. Topné médium proudí pláštěm a trubkami do druhé trubkovnice, působící jako sběrač a druhým čepem nosného hřídele se odvádí ze zařízení.

Vysoušený materiál se přivádí skluzem do zavážecí části bubnu, odkud ho dopravují šroubovitě lopatky do dalších pásem. Náplň je vynášena šíkmými obvodovými lopatkami 6 do horní části bubnu, odkud přepadá do soustavy trubek. Jejich uspořádání bylo voleno tak, aby byl prostor bubnu zaplněn materiálem rovnoměrně. Do bubnu je možno zavést sušící prostředí (teplý vzduch nebo spaliny), které přispívají ke zintenzivnění procesu. Buben lze využít i jako kontinuální chladic.

Zařízení tohoto typu se staví až do výkonosti 1 500 kg usušeného (zehlazeného) materiálu za hodinu. (Podle firemní literatury.)

V. Tůma



Obr. 1. Schéma kontaktní sušárny sypkých materiálů.

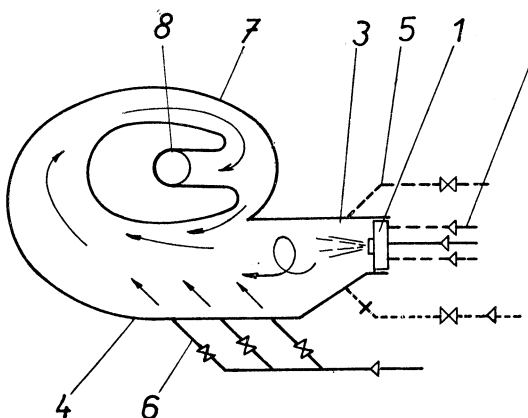
● Regulace doby sušení v pásové sušárně (Patent USA č. 325 9995)

Patentem se chrání metoda a zařízení pro regulaci doby pobytu materiálu a parametrů sušicího prostředí v závislosti na počáteční měrné vlhkosti. Účelem uspořádání je získat produkt o rovnoměrné konečné vlhkosti. Regulační elementy teploty a vlhkosti sušicího prostředí i doby setrvání materiálu v sušárně se nastavují podle experimentálně stanovených křivek sušení. Zařízení podle patentu je v podstatě pásová sušárna, jejíž komora je rozdělena vertikálnimi přepážkami na několik polí se samostatnými oběhy vzduchu. Vysoušený materiál je uložen na perforovaném dopravníku. Sušicím prostředím je vzduch, ohřívaný v parních ohřívačích, umís-

těných vně sušicí komory na jejím boku. Každé sušicí pole má jeden ohřívač vzduchu, a dále ventilátor, který obstarává cirkulaci vzduchu v systému sušicí komora — vysoušený materiál — ohřívač — ventilátor. V každém článku je nad vrstvou materiálu umístěna teplotní sonda s velmi krátkou časovou konstantou pro stanovení teploty sušicího prostředí. Poněvadž existuje mezi teplotou a vlhkostí sušicího prostředí a měrnou vlhkostí materiálu určitá závislost, je možno podle údajů teplotních sond soudit na vlhkost materiálu v každém poli sušárny. Teplotní sondy působí tak, jako snímač impulsů pro regulační elementy v přívodním potrubí topného média k ohřívačům, v potrubí přívodu okolního vzduchu do sušárny a v okruhu pohonu dopravníku sušárny. (Tm)

ROZPRAŠOVACÍ SUŠÁRNA

Na obr. 1. je naznačeno schéma rozprašovací sušárny podle francouzského patentu č. 1438 686, určené pro vysoušeň koloidních



Obr. 1. Schéma rozprašovací sušárny.

roztoků. Roztoky se přivádějí do dvoulátkové trysky 1, kde jsou rozprašovány tlakovým vzduchem z potrubí 2. Trysky mají vřítvé vložky a rozprašují roztok na velmi jemnou mlhovinu. Při sušení roztoku uhličitanu vápenatého o koncentraci sušiny 46% činila spotřeba tlakového vzduchu 0,16 kg/kg. Rozprášené částice postupují do prve části 3 komory sušárny 4, kam jsou tangenciálně zaústěny přívody sušicího vzduchu 5 a dále do druhé části sušící komory. V této části se roztok dosouší vzduchem, vystupujícím z přívodů 6. Usušený produkt pak proudí se sušicím prostředím do třídiče 7, z něhož se jemné a usušené podly odvádějí sběračem 8 a vlhké částice vedou znova do sušicí komory. V zařízení tohoto typu se získává produkt o čisticích menších než 1 μm , které se během procesu neshlukují a nespékají.

V. Tůma

● Rozprašovací sušárna (Patent NDR č. 51254)

Uvedeným patentem je chráněna vertikální rozprašovací sušárna pro souproudné sušení a krystalizaci v proudu sušicího prostředí. Sušárna je válcová s kuželovitým dnem. Strop sušárny má na své spodní straně kruhovitou komoru s tangenciálním vstupem sušicího prostředí. Sušicí prostředí proudí z komory do sušárny vertikálními štěrbinami s regulovatelným průřezem a jeho výsledný pohyb je šroubovitý. V centrální části stropu je umístěna druhá kruhová komora pro přívod vzduchu, avšak směr výsledného proudění sušicího prostředí je opačný než u šroubovice prvé. Mezi oběma koncentrickými šroubovými toky tak vzniká pásmo intenzivní turbulencie. Zpracovávaná kapalina se rozprašuje dvoulátkovou tryskou nebo kotoučem do pásmu intenzivní turbulencie, kde jsou rozprášené částice omývány po celém povrchu sušicím prostředím, a velmi rychle se vysoušejí. Usušený produkt se odvádí z kuželové části sušárny současně s odpadním vzduchem a brýdovými parami. Sušárna podle patentu je charakterizována vysokou účinností sdílení tepla a přenosu hmoty.

(Tm)

● Bubnová sušárna (Japonský patent č. 15 795)

V patentovém spise je uvedena bubnová sušárna, tvořená dvěma souosými bubny, vnitřním a vnějším. Ve volném prostoru mezi oběma bubny, majícím průřez mezikruží, jsou umístěny lopatky, připevněné k povrchu obou bubnů. Vlhký materiál se podává do tohoto prostoru, zatímco sušicí prostředí proudí pouze volným prostorem vnitřního bubnu. Teplota, potřebná k ohřevu náplně a odpaření jeho vlhkosti se tak sdílí materiálu kondukcí. Ve srovnání s normální bubnovou sušárnou dovoluje instalace vnitřního bubnu zvýšit objem zpracovávaného materiálu.

(Tm)

● Rozprašovací sušárny japonských firem Nippon Sanzo a Tanaka Kikai

Jde o rozprašovací sušárny pro odpar 50, 120, 250 a 500 kg vody za hodinu. V těchto sušárnách je použit jako sušicí prostředí dusík ohřívaný na teploty až 250 °C. Sušárny pracují jako souproudná zařízení s výsledným vertikálním prouděním vzduchu. Zpracovávaná kapalina se rozprašuje kotoučem. Pro zkoušky je určena sušárna o průměru 1 000 mm a výšce komory 1 500 mm. Rozprašovací kotouč má průměr 70 mm a 25 000 ot/min.

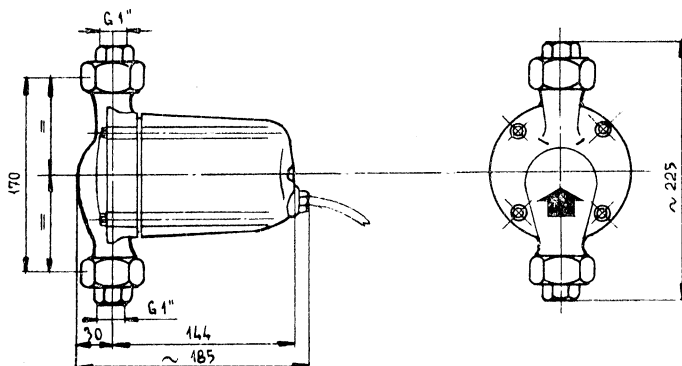
(Tm)

MALÉ OBĚHOVÉ ČERPADLO 25-NTP

Čerpadlo typu 25-NTP představuje prakticky nejmenší velikost oběhového čerpadla pro nucený oběh topné vody. Je proto také určeno pro nejmenší otopné soustavy, a to 10 000—40 000 kcal/h při 20 °C tepelného spádu.

Použití tohoto čerpadla je pokud možno na čistou měkkou a chemicky neaktivní vodu bez jakýchkoliv mechanických přimísenin. Maximální teplota topné vody je 85 °C při trvalém provozu v topném období.

Čerpadlo 25-NTP je odstředivé, spirální,



Obr. 1. Rozměrový náčrtek čerpadla 25-NTP.

Technické údaje čerpadla 25-NTP*)

Typ čerpadla	25—NTP — 45 — 3,5	
Dopravované množství	Q [l/min]	10 — 20 — 30 — 40
Manometrická dopravní výška	H [m v. sl.]	2 — 1,6 — 1,1 — 0,7
Průměr sacího a výtlacného potrubí	J_s	G 1"
Max. statický tlak	[kp/cm ²]	6
Typ elektromotoru	WCJ 3C-82	
Jmenovité napětí	[V]	220
Kmitočet	[Hz]	50
Svorkový příkon motoru	[W]	47 — 53 — 56 — 58
Proud	[A]	0,2475
Kapacita kondenzátoru	[μF]	2,5
Váha agregátu	[kg]	5

*) Z podkladů fy Sigma Lutín P-13bb-1-67.

jednostupňové s horizontálním rotorem, spojené do monoboku s elektromotorem, s nímž tvoří hermeticky uzavřený celek. Konstrukce čerpadla je bezucpávková a upravená pro vložení do přímého potrubí, neboť sací i výtlačné hrdlo jsou uspořádány v jedné společné ose.

Pro pohon čerpadla je použit jednofázový 2polový elektromotor s trvale připojeným kondenzátorem. Směr otáčení je libovolný vpravo i vlevo.

Nejvhodnější umístění čerpadla je ve zpětném potrubí topné vody, kde jsou přízni-

vější podmínky pro chlazení čerpadla i elektromotoru.

Čerpadlo může být namontováno do vodo-rovného, svislého i šikmého potrubí, avšak vždy tak, aby osa elektromotoru byla vodo-rovná.

Saci i výtlačné hrdlo je opatřeno nátrubkem s přesuvnou maticí pro našroubování potrubí *J 8 1"*.

Výrobcem tohoto čerpadla je Sigma, n. p., Lutín, stejně jako předešlé řady 40 až 125 NTP. Velkoobchodní cena je 855,— Kčs.

T. Suchánek

MĚŘENÍ MNOŽSTVÍ DODANÉHO TEPLA V HORKÉ VODĚ POMOCÍ AQUAMETRŮ A PROVÁDĚNÍ PROVOZNÍCH CEJCHOVNÍCH KONTROL TĚCHTO MĚŘIČŮ

V posledních dvou desetiletích došlo ke značnému rozšíření zásobování teplem hlavně nových velkých sídlišť z dálkových horkovodních sítí. Příslušné statistiky dokazují, že hlavně dálkové vytápění dosáhlo rozhodující rozvoj a že počet téhoto zařízení stále u nás vzrůstá. Při moderní výstavbě nových sídlišť je mimo jiné také rozhodující nejen hospodár-

nost, ale hlavně čistota ovzduší a komfortnost bydlení, které jsou při dálkovém vytápění zajištěny.

Naproti tomu dálkové vytápění přineslo některé problémy. Jedním z nich je stanovení množství odebrané tepelné energie jednotlivým odběratelům, kterým je тепло dodáváno v horké vodě. Z počátku se užívalo paušálních sazeb, které byly stanoveny podle velikosti vytápěné plochy a průměrných venkovních teplot. Paušál byl ve většině případů stanoven značně nepřesně, což vedlo k různým nespokojenostem. Postupem doby vznikla snaha, stejně jako již dříve u elektrického proudu, plynu, páry a vody, paušální cenu odbourat a zavádět jednotlivé odpočty odebrané energie měřicími přístroji.

V našem podniku (Jihomoravské energetické závody, Brno) byly již v letech 1953 v některých předávacích stanicích na horkovodních sítích zabudovány měřiče tepla, které byly dodány firmou Aquametro — Basel, Švýcarsko. Do dnešního dne máme v provozu celkem 68 kusů téhoto měřičů (*obr. 1*). Tyto měřiče pracují na principu mechanického a funkční schéma tohoto měřiče je nakresleno na *obr. 2*.

Normální provedení téhoto mechanických, fyzikálně exaktních měřičů sestává:

1. Z vodoměru — protékající množství vody se měří pomocí Woltmanova vodoměru a aby se toto měřidlo s ohledem na teplotu zbytečně nenamáhalo, zabuduje se podle možnosti do zpětného potrubí. Počítáč tepla je vybaven magnetickou spojkou pro přenos otáček z prostoru měřiče, naplněného tekutinou do suchého prostoru počítacího zařízení.

2. Zařízení pro integraci — sestává (*obr. 2*) z ozubeného kola (3), které je frézované do spirály (také se označuje ozubené kolo přívodu),



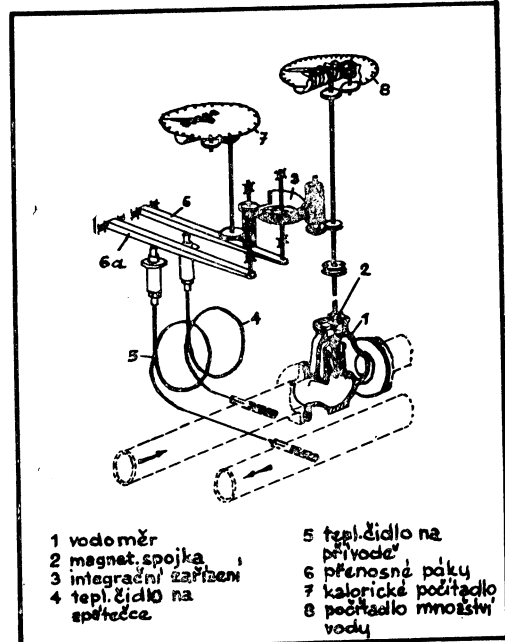
Obr. 1. Měřič tepla aquametro *J 8 80, J 40*.

je trvale poháňeno vodoměrem (1). Jeho otáčky jsou úměrné protékanému množství vody. Toto kolo je axiálně pohyblivé a jeho výšková poloha je řízena čidlem, které snímá teplotu primární vody (přívodu) (6). Podle polohy je pak více nebo méně v záběru s pastorkem (označuje kolo zpátečky 6a). Pastorek zpátečky je výškově přestavitelný a je řízen čidlem zpátečky. Výškové přestavování obou koleček se děje pákovými převody (6). Výškový rozdíl kola přívodu (3) a pastorku zpátečky (6a) odpovídá rozdílu teplot přívodu a zpátečky ΔT a jemu úměrný.

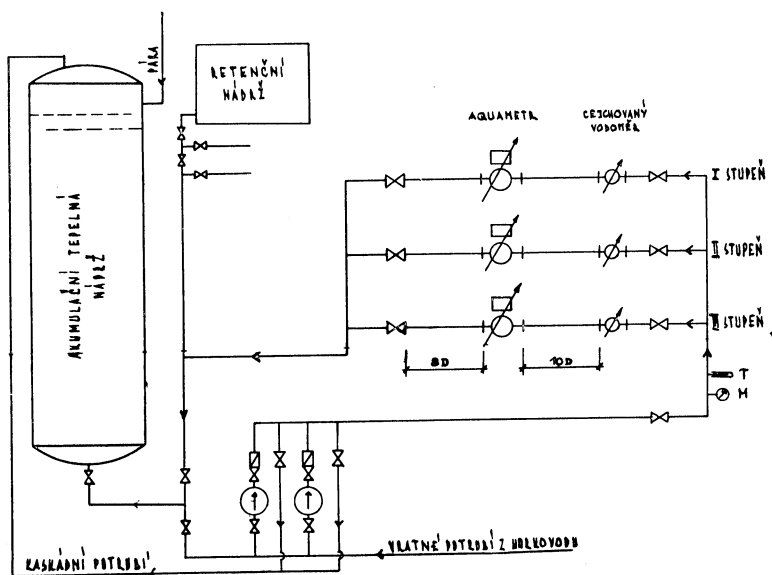
Vlivem spirálového tvaru kola přívodu (3) a vlivem výškové diference obou kol (6, 6a), je záběr kola na jednu otáčku menší nebo větší a počítadlo kalorií (8) registruje příslušné množství tepelných jednotek přímo v Gcal. Taktéž i počítadlo (7) zaznamenává množství proteklé vody v m^3 .

Aby bylo možno provádět kontroly těchto měřicího tepla — aquametrů, zda hodnoty, které ukazují, tj. množství proteklé vody v m^3 a odebrané množství tepla v Gcal, jsou správné, musíme je srovnávat s hodnotami, které jsou současně naměřené na předem přecejchovaném zařízení.

K tomuto účelu bylo v n. p. JME — Brno navrženo a vybudováno takové zařízení, které na výhodně zvoleném pracovišti akumulační horkovodní stanici umožňuje, aby kontrolo-



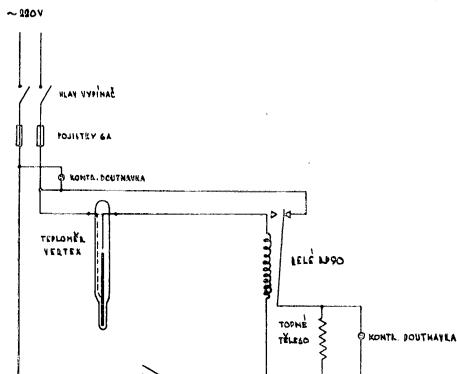
Obr. 2. Funkční schéma.



Obr. 3. Schéma provozní cejchovní stanice.

vané měříče mohly vykonávat jednotlivé úkony potřebné pro zjištění, že vyzkazují správné hodnoty (obr. 3).

Celé zařízení sestává z potrubního rozvodu, čerpadel, armatur o různé velikosti, retenční nádrže a měřicího stolu, v němž je zabudováno zařízení pro automatickou regulaci teplot pro jednotlivá čidla měřic, které snímají teplotu přívodu a zpátečky. Pro tuto automatickou regulaci bylo použito rtuťových teploměrů Vertex, na nichž je nastavována potřebná teplota lázně, do níž je vloženo čidlo aquametro. Toto nastavení je kontrolováno úředně cejchovanými kapilárovými rtuťovými teploměry. Schéma zapojení stabilizace teploty je vyznačeno na obr. 4.



Obr. 4. Schéma zapojení automatické regulace teplot.

Měřicí stůl má zabudované čtyři olejové lázně, z nichž každá má obsah 2,5 dm³. Ohřívání lázní se děje pomocí elektrických odporových těles, zabudovaných pod dnem nádoby. Olej je neustále promícháván, čímž se dociluje stejnometrné teploty v celé lázni. Spínání a vypínání elektrického ohřívání se děje pomocí relé RP 90. Automatická regulace teplot současně a nezávisle na sobě může reguloval celkem teploty ve čtyřech lázních, čímž je umožněno provádět kontrolu současně dvou měřic. Tento měřicí stůl také slouží pro provádění záznamů do karet a stavu kontrolovaného měřicího.

Provádění kontroly měřiců tepla — aquametrů na vybudovaném zařízení JME — Brno.

První kontrola je prováděna tak, že nešrovnatáme vypočítané množství kalorií se skutečně registrovaným množstvím tepla, ale porovnáváme počet dílků zaregistrovaných ukazatelem za jednu otočku kola přívodu

s vypočteným počtem dílků. Toto se provádí tak, že se integrační část měřicího odpojí od základního tělesa Woltmanova vodoměru a při ponořených čidlech do olejových lázní se provede otočení ozubeného kola (3) podle obr. 2 jedenkrát kolem své osy.

Je nutno dbát toho, aby čidla byla při všech měření nejméně 10 minut vystavena měřené teplotě, aby měla stejnou teplotu jako lázne.

Na štítku umístěném na přední straně měřicí aquametro je uvedena konstanta b (t_{st}) °C = počet dílků na °C. Toto číslo udává počet dílků, které musí ukazatel registrat pro ΔT jeden °C a pro jednu otočku kola přívodu (3). Na štítku je dále uvedena hodnota Δt_{max} [°C], což je maximální rozdíl teplot mezi přívodem a zpátečkou ve °C. Tuto hodnotu lze přepočítat na dílky tak, že hodnota Δt_{max} násobíme konstantou b . Hodnota znamená 100% posuv ukazatele v registrovaném úseku. Percentuální velikost chyby v registraci je pak dáná vztahem

$$\frac{\text{rozdíl počtu dílků} \times 100}{t_{max} \times b}$$

Příklad:

Na štítku:	$\Delta t_{max} = 80$ °C
	$b = 0,5$
Skutečná hodnota:	$\Delta t = 20$ °C
Žádaná hodnota:	= $20 \times 0,5 =$
	= 10 dílku
Skutečná hodnota:	odečtená na měřicí =
	= 10,8 dílku
Rozdíl	= 0,8 dílku
Chyba v % podle uvedeného vzorce je:	

$$\frac{0,8 \times 100}{80 \times 0,5} = \frac{80}{40} = 2\%$$

Abychom dostali přesnější výsledky, doporučujeme otočit kolo přívodu (3) při prováděné kontrole 10×. Samozřejmě je pak nutno vypočtenou hodnotu $\Delta T \times b$ násobit deseti.

Po takto provedené kontrole horního dílu měřicí a jeho seřízení na správnou hodnotu je nutno provést kontrolu celého měřicího včetně proteklého množství vody v m³.

Postup této kontroly je následující:

Provede se připojení měřicí do příslušného stupně kontrolní stanice. Čidla, která snímají teplotu, jsou ponořena do příslušné lázně s přesně nastavenou teplotou. Asi po deseti minutách se uvede do provozu obchodové čerpadlo, které odebírá vodu z retenční nádrže a tlačí ji přes zabudovaný přejechovaný Woltmanův vodoměr a kontrolovaný aquametr do komunikačního potrubí a odtud zpět do retenční nádrže, odkud je voda znova čerpadlem odebírána (obr. 3).

ZÁZNAMY Z ČEJCHOVÁNÍ.
AQUAMETR JS - - - , CÍS. - - -

Obr. 5. Evidenční karta.

Na jednotlivých stupních provozní cejchovní stanice jsou zabudovány regulační a uzavírací armatury, kterými je možno nastavit požadovaný tlak a množství protékající vody, anebo úplně zastavit průtok vody. Po jednohodinovém provozu (nebo i po kratší době) provede se odečet množství proteklé vody na kontrolovaném aquametre a odečet množství naměřeného tepla v Gcal. Dále se provede porovnání protoklého množství vody v m^3 , které zaznamenal přecejchovaný Voltmanův vodoměr a kontrolovaný aquametr. Jsou-li tyto hodnoty v relaci, provede se vynásobení zaznamenaného množství proteklé vody v m^3 na aquametr u se skutečným rozdílem teplot Δt , jak jsou nastaveny na jednotlivých ohřívávacích lázních a čidlech. Vynásobením $Q \times \Delta t$ dostaneme množství spotřebovaného tepla v Gcal. Tato hodnota musí souhlasit s hodnotou, která byla registrována na kontrolovaném měřici aquametru.

Kontrolní měření se provádí celkem 6×, jednak při různých změnách průtočného hodinového množství vody, jednak při různých změnách teploty Δt . V případě, že hodnoty při těchto kontrolách nejsou shodné, je nutno

provést vlastní regulaci jednotlivých čidel a celého měříče. Po provedené regulaci se tato kontrola znovu opakuje. Největší dovolená celková chyba kontrolovaného měříče tepla může činit $\pm 2\%$. Výsledky o prováděné kontrole měříče se zaznamenávají do jeho evidenční karty (obr. 5).

Závěr

Kontrolní provozní cejchovní stanice byla uvedena do provozu v r. 1966. Byla odzkoušena pracovníky teploměrné služby JME a bylo konstatováno, že plně vyhovuje účelu, pro který byla konstruována. Technické řešení této stanice bylo před její realizací také konzultováno s pracovníkem švýcarského podniku Aquametro, který tyto měříče vyrábí.

Při jejím uvádění do provozu bylo kladně hodnoceno její vhodné umístění, neboť její realizace byla uskutečněna za minimálních porizovacích a provozních nákladů. Dnes je jednou z prvních provozních stanic u nás, na nichž je možno provádět kontrolu kalorimetrických měřítek používaných v energetických podnicích.

Šebela

- Hlučný výfuk automobilu podléhá ve Švédsku pokutě

Nové dopravní předpisy ve Švédsku předpisují pro hlučné výfuky automobilů pokutu

až 100,— Skr (tj. asi 700,— Kčs). Motor stojíciho automobilu smí běžet nejvýše 3 min. (Kampf dem Lärm).

(Ra)

KONFERENCIA O UMELOM OSVETLENÍ OBYTNÝCH A OBČIANSKÝCH BUDOV

Slovenská komisia ČstVS pre zdravotnú techniku a vzduchotechniku, v spolupráci so ZP ČsVTS a podnik. riadiťstvom ELEKTRO-SVIT v Nových Zámkoch, usporiadala v dňoch 21.—23. septembra 1967 v Bratislave konferenciu o dokonalom riešení umelého osvetlenia obytných a občianskych budov.

Pracovníci projektových ústavov, investorských útvarov, národných výborov, stavebných organizácií, škôl a hygienickej služby (v počte 130 účastníkov) sa v pätnástich referátoch oboznámili s fyziologickými a technickými podmienkami svetelnnej pohody, vývojom a stavom výroby svetelných zdrojov a svietidiel a zásadami navrhovania a výpočtu dokonalého umelého osvetlenia bytov, kancelárií, škôl, nemocníč, múzeí, galérií, kultúrnych domov, neprofesionálnych malých javísk a rôznych športovísk.

Dobré osvetlenie je jednou zo základných podmienok pohody prostredia, v ktorom človek žije a pracuje. Preto je oprávnená požiadavka, aby architekti i svetelní technici venovali jeho optimálnemu riešeniu primeranú pozornosť. Nespojitosť s niektorými inštalovanými osvetľovacími zariadeniami naznačuje, že zraková pohoda a jej význam pre kvalitu a produktivitu práce sa ešte zavše podceňuje. Za tento stav sú — podľa názoru diskutérrov — do značnej miery spoluzodpovední aj investori, lebo neuplatňujú jasne a včas svoje špecifické požiadavky, resp. odôvodnené požiadavky budúcich užívateľov miestnosti alebo budovy na riešenie osvetlenia. Plnenie uplatňovaných požiadaviek treba preto sledovať už v štádiu projekcie a realizácie. Ukazuje sa, že sa s následkami podobných anomalií častejšie stretávame i vo školách a to najmä z dôvodov pochybeného uplatňovania ekonomických stimulov v spotrebe elektrickej energie.

Pri projektovaní osvetlenia účelových miestností a verejných budov sa len ojedinele stretávame s dôsledným uplatňovaním nových poznatkov vedy a moderných prostriedkov osvetľovacej techniky. Skúsenosti plne potvrdzujú aj oprávnenosť kritiky kvalitativných vlastností a zastaraných tvarov niektorých hromadne vyrábaných svetelných zdrojov a svietidiel. Tieto a podobné príčiny boli pohnútkou pre usporiadanie tejto konferencie, ktorá bola vlastne prvým stretnutím reprezentantov všetkých zainteresovaných zložiek na kvalifikovanej úrovni a tak vytýčila cestu, akou by sa mohli a mali podobné akcie v budúcnosti uberať aj v iných odboroch.

Konfrontácia súčasných potrieb s výrobými kapacitami závodov odkryla aj hlavné

príčiny nedostatkov v množstve i sortimente bežných svetelných zdrojov a svietidiel. Súčasné zvyšovanie výrobných kapacít by malo priniesť v tomto smere už v dohľadnom čase citelné zlepšenie. Podrobny referát o vývoji svetelných zdrojov a svietidiel v Maďarsku, ktorého výrobky zavše obohacujú najmä nás trh zdrojov svetla, prispel k doplneniu informovanosti našich odborníkov.

Osvetľovacia technika je pomerne mladý vedný odbor, avšak prudký rozvoj priemyslu, sústavný tlak na rast produktivity práce a dôsledné uplatňovanie vyšších nárokov pri osvetľovaní obytných a občianskych budov, vyžadujú systematické vyvíjanie nových a zdokonalovanie starších typov svetelných zdrojov i svietidiel. To klade, prirodzene, vyššie nároky na výskumnú a vývojovú kapacitu a nezaobídze sa bez priameho kontaktu vývoja a výroby s projekčnými organizáciami a zástupcami konzumentskej verejnosti.

Plnéum konferencie so súhlasom prijalo návrh výrobných podnikov, aby ČsVTS zabezpečila usporiadanie periodických seminárov osvetľovacej techniky pri Jarných veľtrhoch spotrebného tovaru v Brne, na ktorých vystavujú výrobné závody svoje najnovšie vzory zdrojov a svietidiel. To umožní architektom, svetelným technikom i iným záujemcom, aby pri účasti na aktíve získali aj ucelený prehľad o pripravovanom sortimente výrobkov a podľa potreby nadviazali kontext s výrobcomi.

V prijatom uznesení sa ďalej doporučuje zriadenie ústredného informačného a poradenského strediska osvetľovacej techniky v rámci ČsVTS, ktoré by mohlo — pri prednostnom zásobovaní katalógovým materiálom a inými podkladmi — vždy zasvätené a pohotové informovať záujemcov o sortimente, parametroch a osobitných vlastnostiach rôznych zdrojov a svietidiel. Súčasne sa poukazuje na výhody reprezentačných svetelných siení, známych z niektorých zahraničných velkomiest, v ktorých sa m. i. predvádzajú aj dokonalé umelé osvetlenie v rôznych účelových podmienkach.

V záujme účinnej ochrany zraku školopovinných detí, vo veku ich prudkého rastu a dospeievania, účastníci konferencie žiadajú Ministerstvo školstva, aby vypísalo súbeh na získanie vhodných návrhov školských svietidiel a dalo podnet pre vývoj, dôkladné overenie a hromadnú výrobu schváleného druhu a vzoru.

Projekt umelého osvetlenia je prevažne len súčasť projektu silnoproudovej elektrickej inštalácie, lebo v tarifových sadzbách za vyhotovenie projektov na návrhy umelého osvetlenia

miestnosti a budov nie je pamätané. Okrem toho projektové organizácie majú len výnimco kvalifikovaného stvetaľného technika pre zodpovedné riešenie konkrétnych osvetľovacích úloh. Dôsledky tohto stavu sú znepokojujúce. Odstrániť ich možno len postupne, poskytovaním kvalifikácie postgraduálnym štúdiom, ktoré t. č. pripravuje Katedra energetiky Elektrotechnickej fakulty SVŠT v Bratislave.

Slovenská komisia pre zdravotnú techniku a vzduchotechniku v Bratislave vydala Sborník prednášok (200 strán) a Slovenská tech-

nická knižnica v Bratislave výberovú bibliografiu na tému: „Umelé osvetlenie budov“ (130 strán). Výrobné podniky poskytli účastníkom konferencie katalógové listy a obrazy svojich nových výrobkov.

Elektrosvit n. p. Nové Zámky a Tesla n. p. Praha, resp. Napako, výr. družstvo Praha obohatili konferenciu o výstavu svojich výrobkov, ktorými bude trh zásobovaný od roku 1968. Lustre n. p. v Kamenickom Šenove sa predstavili fotografiami vývojových typov svietidiel.

Hrdina

VÝPOČETNÍ PROGRAM „TEVLAK“ PRO VÝPOČTY PODLE ČSN 73 0540

Ve stavebnictví se stále více používá jednak odlehčených stavebních konstrukcí nebo konstrukcí vícevrstvých. Pro hodnocení těchto konstrukcí nepostačuje jen údaj koeficientu prostupu tepla „ k “, jak bylo dosud zvykem, ale je třeba dalších velmi závažných údajů, které předpisuje československá státní norma ČSN 73 0540 „Tepelně technické vlastnosti stavebních konstrukcí“. Přesto, že norma na byla účinností od 1. 10. 1965, neprovádějí projektaři a konstruktéři výpočty předepsaných charakterizujících dat v dostatečné míře a proto dochází k velmi častým omylům v návrzích a ke škodám na realizovaných, ale nedostatečně výpočtem ověřených konstrukcích. Příčinu tohoto zjevu je nutno hledat ve velké spotřebě času, které si provádění výpočtu ověřovacích hodnot podle normy vyžaduje.

Armabeton, n. p., ve svém výpočetním středisku chystá sérii výpočetních programů, které budou zpracovávat problematiku tepelné techniky ve stavebnictví v největší možné šíři. Jako první článek série je zaváděn program nazvaný „TEVLAK“, který vypočítává hodnoty předepsané ČSN 73 0540. Výpočet tepelně technických vlastností stavebních konstrukcí podle ČSN nepatří do kategorie výpočtů náročných na matematickou nebo fyzikální teorii, ani mezi výpočty zpracovávající velké množství dat. Přesto je velmi pracný a časově velmi náročný, zejména když jde o posouzení různých variant vícevrstvých konstrukcí, či výpočty tepelných mostů, když časové nároky prudce stoupají se zvětšujícím se počtem vrstev. Program byl zpracován v jazyku D 21 Algol pro počítač DATASAAB 21 a odstraňuje neúměrné časové nároky kládené na koncepcní pracovníky a omezuje jejich činnost pouze na sestavení vstupních hodnot a zhodnocení výsledků. Využíváním programu se zrychlí a zkvalitní projekční práce.

Ze vstupu obsahujících charakteristickou skladbu zadávané konstrukce, počítá program

uvedené hodnoty podle ČSN. V programu je počítáno s možností variací počátečních hodnot. Zvláštním druhem variace je výpočet po kroku, při kterém program automaticky provede změnu tloušťky zvolené vrstvy o stanovenou hodnotu, až po určenou mez. Pokud se týká možností volby hmot, jsou k disposici technické údaje pro 138 hmot, respektive skupin hmot. Program je zpracován pro výpočet vícevrstvých konstrukcí, neboť jedna vrstva se v praxi velmi zřídka vyskytuje. Přesto lze i jednovrstvou konstrukci simulovat jako dvouvrstvou o poloviční síle vrstev o stejně hmotě.

Programem lze počítat konstrukce 2 až 10 vrstv, jinak lze podle programu počítat konstrukce vnější a vnitřní, svislé a vodorovné s tepelným tokem zdola nahoru i shora dolů. Podle uvážení je možno u konstrukcí vnějších tisknout průběhy teplot a parciálních tlaků vodních par v konstrukcích a difusní odpory jednotlivých vrstev.

Výpočet tepelných mostů nebo konstrukcí s různými vrstvami ve směru kolmém a rovnoběžném s tepelným tokem, je možný jen částečně. Část časově náročná se vypočte na stroji a doprovození provede se ručně. Program zcela zachovává metodiku výpočtu podle ČSN, až na nepatrné úpravy nutné pro způsob práce počítače. Ve výstupu, který je tisknut na širokorádkové tiskárně, se uvádí:

1. Příklad č.
2. Popis konstrukce: svislá, vodorovná, směr toku tepla apod.
3. Kontrolní tisk vstupních údajů pro jednotlivé vrstvy: hmota, objemová hmotnost, síla vrstvy, tepelný odpor.
4. Celková tloušťka konstrukce.
5. Tepelný odpar R .
6. Tepelná propustnost A .
7. Odpor při prostupu tepla R_o .
8. Součinitel prostupu tepla k .
9. Pokud se jedná o konstrukci vnitřní, ve které se vyskytují hořlavé materiály, vy-

- tiskne se upozornění, ve které vrstvě tento materiál se vyskytuje.
10. Tepelnou jímaost b .
 11. Tepelný útlum ν .
 12. Průměrný pokles povrchové teploty ϑ .
 13. Pokud některé výsledky nevyhovují předepsaným mezním hodnotám v normě, upozorní se textem pro které oblasti konstrukce nevyhovuje.
 14. Pokud se žádá průběh teploty a tlaku vodních par v konstrukci, vytiskne stroj údaje pro každou 1/4 každé vrstvy ve vztahu k různým oblastem. Nežádá-li se vypsání průběhu, stroj uvede difusní odpor R_p , a určí, ve které oblasti dojde nebo nedojde ke kondenzaci. Tam, kde ke kondenzaci dojde, určí rozsah od vnitřního povrchu, kde ke kondenzaci může dojít. Pro dosažení souhlasnosti s ČSN 06 0210 jsou v pro-

gramu zahrnutý tři oblasti vnějších teplot (-12 , -15 a -18 °C).

Aby se na nejmenší míru omezily ztrátové časy a usnadnila práce uživatelů, obsahuje program kontrolu zjišťování chyb ve vstupních hodnotách.

Program lze využívat v architektonických kancelářích a všude ve stavební konstrukci, při výpočtech plošných izolací v pláštích, kontrole tepelných mostů v kovových konstrukcích, k ověřování navržených konstrukcí při vstupní kontrole projektů, návrhu tvárnice a keramických vložek apod.

Výpočetní středisko AB může mimopodnikovým zájemcům provádět výpočty podle programu TEVLAK, pokud si sjednají dohodu a zajistí si pracovní hodiny na počítači včas.

Vl. Skokan

LITERATURA

Gesundheits-Ingenieur 88 (1967), č. 11

Massnahmen gegen die Ausstrahlung von Lärm und Erschütterungen auf Baustellen (Opatření proti vyzařování hluku a chvění na staveništích) — *Lakatos B., Reiher H.*

Eignung und Wirtschaftlichkeit von Nachtstrom-Speicheröfen in Geschosswohnungen (Vhodnost a hospodárnost akumulačních kamen na noční proud v poschodových bytech) — *Raiss W., Masuch J.*

Ein neues Klima-System für die Champignon-Kultur (Nová klimatizace pro pěstování žampiónů) — *Huygen C. J.*

Untersuchungen über die Speicherfähigkeit von SO_3 in Glasfasserfiltern für Staubgehaltsbestimmungen in Abgasen (Výzkum jímání SO_3 ve filtrech se skleněnými vlákny pro stanovení obsahu prachu v odpadních plynech) — *Baum F., Beine H.*

Gesundheits-Ingenieur 88 (1967), č. 12

Dampfregelventile für Heizungsanlagen (Parní regulační ventily pro vytápění) — *Wolsey W. H.*

Massnahmen gegen die Ausstrahlung von Lärm und Erschütterungen auf Baustellen (Opatření proti vyzařování hluku a chvění na staveništích) — *Lakatos B., Reiher H.*

Heating, piping and air conditioning 39 (1967), č. 11

Sliding support friction and cryogenic bowing (Tření v kluzných podpěrách a průhyby potrubí způsobené nízkými teplotami) — *Parker C. S.*

Upstream return takeoff stops gravity circulation in Leigh-rise primary secondary system (Napojení zpětného potrubí sekundárního systému v protiproudě na primární rozvod zastaví samotnou cirkulaci v systému s velkými výškovými rozdíly) — *Boschert H. A.*

Eighty year old theater reopens (80 let staré divadlo se znova otvírá) — *Scharres H. J.*

„Split — Function“ cooling cycle for vertical laminar flow clean rooms (Chladicí cyklus s rozdělenou funkcí pro místnosti s vertikálním laminárním prouděním vzduchu) — *Weber J. A.*

Design thermal conductivity values for fiberboards and particleboards (Hodnoty tepelných vodivostí pro panely z vláknitých nebo zrnitých materiálů).

Ventilation design for radiochemical laboratories at nuclear research center (Větrání radiochemických laboratoří ve středisku nukleárního výzkumu) — *Agnon S.*
Nomograph determines Langelier and Ryznar indexes of cooling water (Nomogram ke stanovení Langelierova a Ryznarova čísla pro chladící vodu) — *Caplan F.*

Heating, piping and air conditioning 39 (1967), č. 12

Measurement and analysis of air and water pollutants (Měření a rozbor nečistot ve vzduchu a vodě) — *Brant J. W.*

The future in air pollution control (Buďoucnost kontroly čistoty ovzduší) — *Ludwig J. H.*
Variable volume air systems cool computers, people in bank's new operations center (Proměnný větrací systém chladí počítače a pracovníky v novém bankovním operačním středisku).

Cellular cooling tower fill (Buňkové náplně pro chladicí věže) — *Meek G. W.*

Heat pumps interchange Btu's to air condition new hospital wing (Tepelná čerpadla dodávají teplo pro klimatizaci nové nemocnice) — *Chappell A. R.*

Adding cooling in an industrial plant (Přidávání chlazení v průmyslovém závodě) — *Stevenson F. F.*
Nomograph permits rapid estimates of equipment cost (Nomogram k rychlému určení investičních nákladů na zařízení) — *Caplan F.*

Heizung, Lüftung, Haustechnik 18 (1967), č. 11

Heizungs- und Klimatechnik in Grossbritannien (Vytápění a klimatizace ve Velké Británii) — *Fischer L. J.*

Heizungs-, Lüftungs- und Klimatechnik in Ungarn (Vytápění, větrání a klimatizace v Maďarsku) — *Fekete I.*

Stand der Klimatechnik in der UdSSR (Stav klimatizace v SSSR) — *Karpis E. E.*

Wirtschaftlicher Vergleich verschiedener Heizsysteme grosser Wohnbauten in Frankreich (Ekonomické srovnání různých systémů vytápění velkých budov ve Francii).

Heizungs-, Lüftungs- und Klimatechnik in Polen (Vytápění, větrání a klimatizace v Polsku) — *Kamler W.*

Heizwerke und Heizkraftwerke in der Bundesrepublik Deutschland (Výtopny a teplárny v NSR). Wärmetechnische Bewertung von Räumen und Gebäuden (Tepelnotechnické hodnocení místnosti a budov) — *Barcs V.*

Vollautomatische Zentralheizung mit Holzschnittfeuerung (Automatické ústřední vytápění na dřívěné odřezky).

Heizungstechnik in Schweden (Vytápění ve Švédsku).

Elektrische Strahlheizung in Norwegen (Elektrické vytápění zářičí v Norsku) — *Bjerkeseth E.*
Der 4. Internationale Kongress für Heizung und Klimatisierung in Paris (4. mezinárodní kongres o vytápění a klimatizaci v Paříži).

7. Italienischer Heizungs- und Lüftungskongress (7. italský kongres o vytápění a větrání).

Heizung, Lüftung, Haustechnik 18 (1967), č. 12

Das Hermann-Rietschel-Institut für Heizung und Lüftung der Technischen Universität Berlin (Ústav H. Rietschela pro vytápění a větrání Technické university v Berlíně) — *Raiss W., Kind H. G.*

Blockheizwerke als Dachzentralen (Blokové střešní výtopny) — *Reimer H.*

Aufbau und Arbeitsweise elektrischer Speicherheizergeräte (Výstavba a činnost elektrických akumulačních kamen) — *Jüttemann H.*

Ermittlung des windbedingten Lüftungswärmebedarfs bei Hochhäusern (Stanovení spotřeby tepla vlivem větru u výškových budov) — *Rögelein W.*

Der 4. Internationale Kongress für Heizung und Klimatisierung in Paris (4. mezinárodní kongres o vytápění a klimatizaci v Paříži).

Illuminating Engineering 62 (1967), č. 9

Abstracts of 1967 IES Conference papers (Výtahy z prací ze sborníku z konference IES)
— light sources (světelné zdroje — 10 článků),
— color rendition (barevná podání — 3 články),

- vision research (zraková pohoda — 4 články),
- indoor lighting (vnitřní osvětlení, bytové — 3 články),
- research and photometry (fotometrický výzkum — 6 výtahů),
- roadway lighting (ulicní osvětlení — 2 články).

Preliminary report on a new approach to color acceptance studies (Předběžná zpráva o nových cestách při studiu barevného podání světlem) — *Pracejus W. G.*
 On luminaire layout (Konstrukce světelných zdrojů) — *O'Brien P. F.*
 Designing general and supplementary lighting systems for audiovisual use (Navrhování celkového a doplňkového osvětlení pro audiovizuální činnost) — *Williams H. G.*
 Simplified manual and computer method of calculating IES zonal-vacuity coefficients of utilization (Jednoduchá mechanická a početní metoda výpočtu koeficientu využití při IES pásmové metodě) — *Allen C. J., McGowan T. K.*
 Evaluation criteria for design of the visual environment in school and colleges (Směrnice — Hodnotící kritéria pro navrhování vizuálního prostředí ve školách a kolejích).
 IES Approved method for the electrical and photometric measurements of fluorescent lamps (Směrnice — IES schválená metoda pro elektrická a fotometrická měření na zářivkách).

Illuminating Engineering 62 (1967), č. 10

Lighting for automobile display (Osvětlení prodejen automobilů — s výstavami).
 Putting home lighting display (Exkluzivní výstavní osvětlení v bytě) — *Plowman B. E.*
 Color from the ballpark a TV special (Barevné podání světla na hřišti pro barevnou televizi) — *Bishop V.*
 An esthetic look at classroom lighting (Estetický pohled na osvětlení učebny) — *Strang W. K.*
 An indoor swimming pool (Krytý plavecký bazén) — *Bergeron J. B.*
 Photometric testing of filament type luminaires for general lighting service (Fotometrické hodnocení žárovkových svítidel pro celkové osvětlení).
 Designing general and supplementary lighting systems for audiovisual use (Navrhování celkového a doplňkového osvětlení pro audiovizuální činnost) — *Williams H. G.*

Illuminating Engineering 62 (1967), č. 11

Drive-up bank — National ALC winner (Tankovací stanice — vítězná práce z Montrealu) — *Slezewski E.*
 Art of surgery is learned by watching (Názorná výuka chirurgické operační techniky) — *Wareham E. A.*
 Lighting brings churches up to date (Osvětlení modernizuje kostel) — *Squillance S. S.*
 Near-daylight brightness for night football (Jas denního osvětlení na fotbalovém hřišti v noci)
 The possible effects of ultraviolet radiation on the maintenance of addition lamps (Přípustné dávky UV záření při údržbě výbojových zdrojů) — *Slagg N.*
 The metric system in illuminating engineering (Metrická soustava ve světelné technice) — *Barbrow L. E.*

Klimatechnik 9 (1967), č. 11

Der Wärmeschutz bei Zentral- bzw. Fernheizungen (Tepelná síť u ústředního, popřípadě dálkového vytápění) — *Souquet G.*
 Rückschau auf die ACHEMA 1967 — Schluss (Novinky na výstavě ACHEMA 1967 — konec) — *Rüb F.*
 Temperaturregelung mit Peltierelement (Regulace teploty peltierovými články) — *Küfner K.*
 Eine thermoelektrische Batterie für Klimaanlagen — Schluss (Termoelektrická baterie pro klimatizaci — konec) — *Cvetkov Ju. N.*
 Die Bedeutung von Außenwänden für die Klimaregulierung von Wohnräumen (Význam vnějších stěn pro regulaci klimatu v bytech) — *Amrein E.*
 Ein neues *i, x*-Diagramm (Nový *i, x* diagram) — *Steimle F.*

Klimatechnik 9 (1967), č. 12

Zur Frage der Behaglichkeit in klimatisierten Büroräumen I. (Pohoda v klimatizovaných kancelářích I.) — *Zimmermann F.*

Peltier — Kältegeräte in der Praxis I. (Peltierovy chladicí články v praxi I.) — Neumann D.
Luftverteilung im Raum in Abstimmung mit den betrieblichen Erfordernissen (Rozdělení vzduchu
v místnosti v souhlase s požadavkou provozu I.) — Kurth M.
Rückschau auf die ACHEMA 1967 (Novinky na výstavě ACHEMA 1967) — Rüb F.

Lichttechnik 19 (1967), č. 11

Vom Biedermeier zur Märzrevolution 1815—1848 (Vývoj svítidel v biedermeieru až do revolučních let 1848) — Jarmuth K.

Die Komische Oper in Berlin (Osvětlovací zařízení v Komické opeře v Berlíně).

Die künstliche Beleuchtung in Krankenhaus — II (Umělé osvětlení v nemocnicích — II) — Stärk A.

Beleuchtung einer Schnellverkehrsstrasse in Wiesbaden (Osvětlení komunikace pro rychlou dopravu u W.) — Basche E., Kaiser W.

Ein Lichsteuergerät für Leuchtstofflampen unter Verwendung von Halbleiterbauelementen (Stmívací zařízení pro zářivky s použitím polovodičů) — Baat K. R., Schödl R.

Zur Beschreibung und Kennzeichnung des Reflexionsverhaltens von Strassendecken (Popis a značení povrchů vozovek z hlediska odražností materiálů) — Hentschel H. J.

Lichttechnik 19 (1967), č. 12

Vom Biedermeier zur Märzrevolution 1815—1848 — Teil II. (Vývoj svítidel v biedermeieru až do revolučních let 1848 — díl II.) — Jarmuth K.

Erlesene Stilleuchten in einem Wohnhaus (Vybraná stylová svítidla v jednom obytném domě).

Leuchten aus der Tschechoslowakei (Československá svítidla) — Kvasničková R., Kvasnička I. Grenzen der Lichterzeugung bei Glühlampen (Hranice světelné výkonnosti u žárovek) — Schilling W., Wurster E.

Entwicklungstendenzen bei Leuchtstofflampen (Vývojové směry u zářivek) — Eckhardt K.

Zur Frage der Bewertung des Einflusses von Aufnahme- und Wiedergabelichtarten auf die Farbwiedergabe in der Farbphotographie (K otázce hodnocení vlivu doby osvitu při snímání a reprodukci na barevné podání v barevné fotografii) — Münch W., Schulz U.

Luft- und Kältetechnik 3 (1967), č. 6

Gesetzliche Massnahmen verschiedener Länder zur Reinhaltung der Luft (Zákonné opatření různých zemí k zachování čistoty ovzduší) — Lang P.

Die Wirkung der Exhalate von Grosskraftwerken auf die Vegetation (Působení exhalací z velkých elektráren na rostlinstvo) — Dässler H. G.

Zur Luftbelastung in der Umgebung von Flussäurewerken — Ergebnisse luftanalytischer Untersuchungen im Bereich des VEB Fluorwerkes Dohna (Zatížení vzduchu v okolí závodů na výrobu kyselin fluorovodíkové. Výsledky výzkumu v okolí VEB Fluorwerke Dohna) — Dässler H. G., Lux H.

In welchem Fall können Waldstreifen die Rauchgaskonzentration vermindern? (V kterém případě mohou lesní pásy zabránit koncentraci kouře?) — Flemming G.

Die Korngrößenmesstechnik und ihre Auswerteverfahren (Technika měření velikosti zrn a její vyhodnocení) — Tůma J., Quitter V.

Berechnung der Kühllast eines Hotelgebäudes mit Berücksichtigung der Wärmespeicherung der raumschliessenden Bauteile (Výpočet chladicí zátěže budovy hotelu s ohledem na akumulaci tepla v přilehlých částech) — Grossmann W.

Lux Décembre 1967, č. 45

La répartition de la lumière autour d'un point, la vision et l'éclairage de l'objet (Rozložení světla v okolí bodu, vidění a osvětlení předmětu) — Dourgnon J.

Mesure absolue des facteurs de luminance et de réflexion (Určování absolutních hodnot jasu a činitelů odrazu) — Morren L.

L'ombre, facteur important dans la technique de l'éclairage (Stín — důležitý činitel ve světelné technice) — Grešl V. P.

L'importance de l'éclairage sur le comportement visuel de l'enfant et de l'adolescent (Důležitost osvětlení pro zrakovou činnost dětí a dospívající mládeže) — *Bronner A.*
Pour un éclairage fonctionnel des cabinets dentaires (Aby osvětlení pracovišť zubních lékařů bylo funkční) — *Courteville P.*
Nouvel éclairage du tronc commun de l'autoroute de l'ouest (Nové osvětlení hlavního tahu západní autostrády) — *Valin J.*
CIE — Washington 1967 (Poznámky a zprávy o světelně technické konferenci).

Sanitär- und Heizungstechnik 32 (1967), č. 11

Durch Rohrschalldämpfer erreichte Minderung der Geräuschausbreitung bei wasser durchflossenen Armaturen (Tlumiče hluku na potrubí změňují šíření hluku potrubím a průchodními armaturami) — *Haffer D.*
Schutz des Wassers in Trinkwasser-Leitungsanlagen (Ochrana média v rozvodech pitné vody) — *Feurich H.*
Vorfertigte Installationen — Ergebnisbericht eines Ländervergleichsprogramms (Průmyslově vyráběné instalace — zpráva o zkoušenostech ze srovnávání výrobků z několika zemí) — *Drees G., Schmidt Th.*
Energiewirtschaftliche Probleme bei der Beheizung von Schwimmbecken in Hotels und Erholungsheimen (Problémy hospodárné spotřeby energie k vytápění plaveckých bazénů v hotelích a v lázebných zařízeních) — *Lang O.*
Die Bestimmung der Innentemperatur t_u von unbeheizten Räumen nach Extrem-Methode. (Stanovování vnitřní teploty t_u v nevytápěných prostorách pomocí metody extrémů) — *Schmidt E.*
Thermostatische Absicherung von Heisswasser kesseln (Thermostatické jistištění horkovodních kotlů).
Individuelle Raumtemperaturregelung bei Warmwasser-Zentralheizungsanlagen (Individuální regulace vnitřní teploty u teplovodních otopných soustav — 1. pokr.) — *Schrowang H.*
Neues aus aller Welt (Novinky z celého světa).

Sanitär- und Heizungstechnik 32 (1967), č. 12

Geräuschuntersuchungen an bautechnischen Anlagen (Výzkum hlukových poměrů ve zdravotně technických zařízeních — souhrnná zpráva).
Planerische, bau-, installations, und armaturtechnische Massnahmen für die Durchführung der bauakustischen Messungen und Folgerungen (Plánovací, stavebně technické, instalační a armaturní podklady pro provádění měření stavební akustiky a jejich důsledků) — *Neubert H.* — 28 stran souhrnných poznámek.
Vorfertigte Installationen — Ergebnisbericht eines Ländervergleichsprogramms (Průmyslově vyráběné instalace — zpráva o zkoušenostech ze srovnání výrobků z několika zemí) — *Drees G., Schmidt Th.*
Sinnbilder für Sanitäranlagen (Značky pro zdravotní instalace — symboly).
Die Bestimmung der Innentemperatur t_u vcn unbeheizten Räumen nach der Extrem-Methode (Stanovování vnitřní teploty t_u v nevytápěných prostorách pomocí metody extrémů) — *Schmidt E.*
7. Italienischer Heizungs- und Lüftungskongress (7. kongres z oboru vytápění a větrání v Padově v červenci 1967).
Abstrahlungsgeräusche und Geräuschausbreitung von Lüftungs-Kastengeräten in deren Aufstellungsräumen (Lüftungszentralen) — (Hluk vyzařovaný a šířený větracími stavebnico-vými soustavami do jejich strojoven).
Individuelle Raumtemperaturregelung bei Warmwasser-Zentralheizungsanlagen (Individuální regulace vnitřní teploty u teplovodních otopných soustav — 2. pokrač.) — *Schrowang H.*
Neues aus aller Welt (Novinky z celého světa).

Stadt- und Gebäudetechnik 21 (1967), č. 11

50 Jahre Sowjetmacht — Die Entwicklung der Sanitärtechnik im Laufe von 50 Jahren (50 let sovětské moci — Vývoj zdravotní techniky za uplynulých 50 let) — *Vasile S. N., Stesenko A. L., Chotkevis S. G.*

Dünnwändige Rohre in sanitärtechnischen Systemen (Tenkostěnné trouby ve zdravotně technických zařízeních) — *Gefding A. K.*

Die Besonderheiten des Wärmezyklus beim Heizelementstumpfschweissen von Thermoplastrohren (Zvláštnosti tepelného cyklu u topných prvků pro svařování trub z thermoplastů na tupo) — *Saeziv K. I.*

Einige Unsicherheiten bei der Ermittlung der Reibungsverluste in Rohrleitungen (Některá nebezpečí při zjišťování ztrát tření v potrubích) — *Assmann W.*

Wirtschaftlichkeitsfragen bei Klimaanlagen unter Berücksichtigung der Regelung — II (Otázky hospodárnosti klimatizačních soustav s ohledem na regulaci provozu — díl II.) — *Macskasy A. Windisch K.*

Berechnung der Querschnitte von Sicherheitsventilen an Heisswasser/Warmwasser-Wärmeübertrager (Výpočet průřezu pojistných ventilů na potrubích přenášejících teplou a horkou vodu) — *Szentmichaly H., Lautenbach G.*

Untersuchungen an Isolierbehälterböden in Segment- und Sektorenschnitt (Průzkum izolace dna zásobníků v řezu tvaru půlkruhu a výseče) — *Stibitzky M.*

Einsatz von Gasheizungsanlagen (Použití plynových otopných zařízení).

Stadt- und Gebäudetechnik 21 (1967), č. 12

Die Anwendung der Rechentechnik bei der Projektierung auf dem Gebiet der Stadt- und Gebäudetechnik (Použití početní techniky pro projektování v oboru zdravotní techniky městech a v budovách) — *Irmer H.*

Wirtschaftlichkeitsfragen bei Klimaanlagen unter Berücksichtigung der Regelung — III (Otázky hospodárnosti klimatizačních soustav s ohledem na regulaci provozu — III) — *Macskasy A., Windisch K.*

Lüftungseinrichtungen von Kompaktbauten für Geflügel in der ČSSR (Větrací zařízení v monoblocích pro chov drůbeže v ČSSR) — *Klink G., Schubert G.*

Gas-Umlaufheizung — eine optimale Variante (Plynové vytápění s nuceným oběhem — optimální řešení vytápění) — *Napravník F.*

V. Internationale Konferenz — Technische Gebäudeausrüstung von Hotels (V. Mezinárodní konference — Technická zařízení v hotelích) — *Knobloch W.*

Staub-Reinhaltung der Luft 27 (1967), č. 11

Vergleich von Probenahmgeräten und -verfahren für Stäube (Srovnání přístrojů a způsobů braní vzorků prachu) — *Avy A. P., Benarie M., Hartogensis F.*

Untersuchungsergebnisse an Staubproben aus Asbestbetrieben (Výsledky zkoušek vzorků prachu z výrob asbestu) — *Walter E.*

Beitrag zur Asbeststaubmessung (Příspěvek k měření asbestového prachu) — *Šimeček J.*

Elektronenmikroskopische Bestimmung der Tröpfchengrößenverteilung in Ölnebeln unter Anwendung des Abplattungsfaktors (Mikroskopické stanovení rozdělení velikosti kapiček olejové mlhy s použitím činitele zploštění) — *Schönauer G.*

Die Auswertung kontinuierlicher Immissionsmessungen durch punktförmige Registrierung (Vyhodnocení kontinuálního měření imise bodovou registrací) — *Lahmann E.*

Ein Generator zur Herstellung monodisperser Aerosole aus der flüssigen Phase (Generátor k výrobě monodisperzního aerosolu z tekuté fáze) — *Binek B., Dohnalová B.*

Untersuchungen über die Veränderungen der Korngrößenverteilung bei der Zerkleinerung (Výzkum změn rozdělení velikosti částic při mletí) — *Graczyk C.*

Vodosnabženie i sanitarnaja technika (1967), č. 9

Za davnjše ulučenje sostojanja vozdušnoj sredy na promyšlennych předprijatiach (Za další zlepšení složení ovzduší v průmyslových závodech) — *Lifčák I. F.*

Vozmožnosti sníženia ztrát na teplosnabženie při optimalnom soprotivleni i teploperedáči naružnych ográženij zdanij (Možnosti snížení ztrát vytápění při optimálním odporu vnějších pláštů budov proti přestupu tepla) — *Boguslavskij L. D.*

Matematiceskoe modelirovanie ventilacionnykh sistem s ispolzovaniem elektronnych vyčislitelnykh mašin (Matematické modely ventilačních soustav využívají elektronkové počítače) — *Čécik E. I., Cal R. Ja.*

Regulirovanie temperatury „točki rosy“ v sistemach kondicionirovanija vozducha (Regulace teploty „rosného bodu“ v klimatizaci) — *Logvinščik I. I., Raškovskij Z. I.*
Effektivnoe ispolzovanie čugunnych napornych trub (Efektivní využití litinových tlakových trub) — *Gotovcev V. I., Poletov N. V.*

Podbor krupnosti inertnogo zapolnitelja drenaža iz poristogo betona dlja filtrov (Určení velikosti užitečné naplně z pórabetonu do filtrační nádrže) — *Bass G. M., Vladycenko G. P., Zavolokha N. P.*

Gidravličeskoe sопротивление setok s kvadratnymi jačejkami (Hydraulický odpor sítěk se čtvercovými oky) — *Al'šul A. L., Krasnov N. S.*

Rasčet rjadov skvažin bolšoj dliny v polosoobraznom plaste (Početní řešení řad vrtů v polopropustných vrstvách) — *Sarkisjan V. S.*

Zamonoličivanie stykov vodoúdržívajúcich sooruzenij v zimnej vremja (Zaplňování spár ve vodárenských jímacích nádržích v zimě) — *Djuženko M. G., Popjavskij B. I., Rajgorodskij A. I.*

Vodosnabženie i sanitarnaia technika (1967), č. 10

Dostiženija sovetskoy nauki v razvitii metodov rasčeta sistem podači i primenenie sovremennoj výpočislitelnoj techniki (Náskok sovětské vědy při rozvíjení metod výpočtu soustav přívadějících vodu a využití současné výpočetní techniky) — *Mošuin L. F.*

Sovremennye metody montaža truboprovodov (Současné metody montáže trubních sítí) — *Aleksandrov A. A., Perešivkin A. K.*

Razvitie vodosnabženija V Gruzinskoj SSR za 50 let (Rozvoj v zásobování vodou v Gruzii za 50 let) — *Šarašenidze E. A.*

Opredelenie rasčetnogo sroka ekspluatacii artezianskich skvažin (Početní řešení doby využití artézských studní) — *Dobrovodskij R. G.*

Sanitarnaia technika v borbe za čistý vozduch (Zdravotní technika bojuje za čistý vzduch) — *Pirumov A. I.*

Progressivnye otopitelnye pribory (Účinné otopné soustavy) — *Grudzinskij M. M., Kac L. M.*

K rasčetu vysoty ventiljacionnyh trub dlja vybrosa vozducha, zagrajaznennogo radioaktivnymi večestvami (Výpočet velikosti ventilačních trub pro výron vzduchu znečištěného radioaktivními látkami) — *Krupčatnikov V. M.*

Vybor sposoba regulirovaniya prizvoditelnosti ventilatorov (Volba způsobu regulace výkonnosti ventilátorů) — *Jevtušenko A. S., Eingerman I. I., Krastoševskij Z. M.*

Seminar „Sovremennye metody povyšenija kačestva podgotovki pitevoj vody“ (Současné způsoby zvyšování výroby pitné vody).

Ztv
3

Zdravotní technika a vzduchotechnika. Ročník 11. Číslo 3, 1968. Vydává Čs. vědeckotechnická společnost, komise pro zdravotní techniku a vzduchotechniku, v Academii, nakladatelství Československé akademie věd, Vodičkova 40, Praha 1. Adresa redakce: Praha 4, Dvorecká 3. — Rozšíruje Poštovní novinová služba. Objednávky a předplatné přijímá PNS — ústřední expedice tisku, administrace odborného tisku, Jindřišská 14, Praha 1. Lze také objednat u každé pošty nebo doručovatele. Objednávky do zahraničí vyzívají PNS — ústřední expedice tisku, odd. vývoz tisku, Jindřišská 14, Praha 1. Vychází 6 čísel ročně. Cena jednotlivého čísla Kčs 8,— (cena pro Československo). Předplatné Kčs 48,—; US \$ 7,—; Lstg 2,18,6; DM 28,— (cena v devísiach). Tiskne Tisk, knižní výroba, n. p., Brno, závod 1. Toto číslo vyšlo v červenci 1968.

(C) by Academia, nakladatelství Československé akademie věd 1968.